

Proračun isplativosti ugradnje solarnog sustava

Obelić, Luka

Undergraduate thesis / Završni rad

2018

Degree Grantor / Ustanova koja je dodijelila akademski / stručni stupanj: **University North / Sveučilište Sjever**

Permanent link / Trajna poveznica: <https://urn.nsk.hr/um:nbn:hr:122:726100>

Rights / Prava: [In copyright/Zaštićeno autorskim pravom.](#)

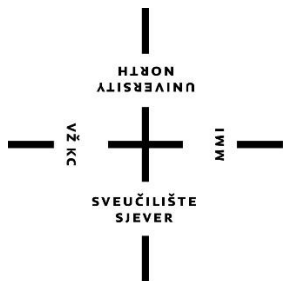
Download date / Datum preuzimanja: **2025-03-31**



Repository / Repozitorij:

[University North Digital Repository](#)





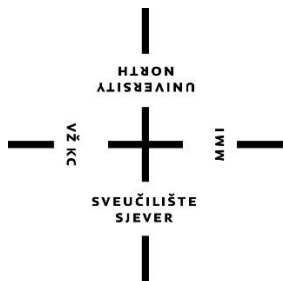
Sveučilište Sjever

Završni rad br. 278/PS/2018

Proračun isplativosti ugradnje solarnog sustava

Luka Obelić, 0896/336

Varaždin, kolovoz 2018. godine



Sveučilište Sjever

Odjel za strojarstvo

Završni rad br. 278/PS/2018

Proračun isplativosti ugradnje solarnog sustava

Student

Luka Obelić, 0896/336

Mentor

Tomislav Veliki, doc.dr.sc.

Varaždin, kolovoz 2018. godine

Prijava završnog rada

Definiranje teme završnog rada i povjerenstva

| | | | |
|-------------|---|--------------|----------------------------|
| ODJEL | Odjel za proizvodno strojarstvo | | |
| PRISTUPNIK | Luka Obelić | MATIČNI BROJ | 0896/336 |
| DATUM | 11.09.2018. | KOLEGIJ | Obnovljivi izvori energije |
| NASLOV RADA | Proračun isplativosti ugradnje solarnog sustava | | |

NASLOV RADA NA
ENGL. JEZIKU Calculation of Cost-Efectivness of Solar System

| | | | |
|----------------------|--|--------|--------|
| MENTOR | Doc.dr.sc. Tomislav Veliki | ZVANJE | Docent |
| ČLANOVI POVJERENSTVA | 1. Prof.dr.sc. Ante Čikić, izvanredni profesor | | |
| | 2. Doc.dr.sc. Tomislav veliki, docent | | |
| | 3. Mag.ing.mech. Damir Mađerić, viši predavač | | |
| | 4. Mag.ing.mech. Veljko Kondić, predavač | | |
| | 5. | | |

Zadatak završnog rada

BROJ 278/PS/2018

OPIS #

U završnom radu potrebno je obraditi sljedeće točke:
Opisati rad solarnog sustava, potrebne komponente solarnog sustava
Proračunati isplativost ugradnje solarnog sustava prema normi HRN EN 15316-4-3.
Odabrati komponente solarnog sustava i njihove karakteristike.
Napraviti detaljan proračun isplativosti ugradnje solarnih kolektora na području grada Varaždina za obiteljsku kuću.
Donijeti zaključak o invenstoriranju u solarni sustav.

ZADATAK URUČEN

21.09.2018.



krešović

Zahvala

Zahvaljujem se mentoru, doc. dr. sc. Tomislavu Velikom, na pruženoj mogućnosti izrade završnog rada na vrlo zanimljivoj tematici. Zahvaljujem na pomoći, vodstvu i pruženom znanju koje sam dobio prilikom izrade rada.

Zahvaljujem svojim roditeljima i obitelji koji su bili uz mene i pružali mi potporu u svakom obliku te bez njihove potpore ne bih došao do ove stepenice u svom obrazovanju.

Zahvaljujem prijateljima i kolegama na zajedničkom svladavanju studijskih obaveza te lijepom i nezaboravnom druženju.

Hvala profesorima i asistentima na pruženom znanju i poticaju za dalnjim učenjem i usavršavanjem.

Sažetak

U ovom radu opisan je rad solarnog sustava, potrebne komponente solarnog sustava te proračun isplativosti ugradnje solarnog sustava prema normi HRN EN 15316-4-3.

U prvom djelu opisana je norma HR EN 15316-4-3 koja sadrži metodu B za izradu proračuna isplativosti ugradnje solarnih kolektora za zagrijavanje PTV-e i grijanje prostora. Drugi dio se odnosi na detaljan proračun isplativosti ugradnje solarnih kolektora na području grada Varaždina za obiteljsku kuću. Dok su u zadnjem djelu opisane odabrane komponente solarnog sustava i zaključak o investiranja u solarni sustav.

Abstract

The paper describes the operation of a solar system, the required solar system components, and the calculation of the cost-effectiveness of the solar system implementation according to HRN EN 15316-4-3.

The first part describes the standard HR EN 15316-4-3, which contains Method B for calculating the cost-effectiveness of installing solar collectors for DHW heating and space heating. The second part refers to a detailed calculation of the cost-effectiveness of installing solar collectors in the Varaždin urban area for a family house. The final part of the paper deals with selected components of the solar system and the conclusion about investing in the same.

Popis korištenih kratica

| | | |
|--------------------|-------------------------------|--|
| A | m^2 | površina kolektora |
| a_1 | $\text{W}/\text{m}^2\text{K}$ | koeficijent gubitka topline solarnog kolektora |
| a_2 | $\text{W}/\text{m}^2\text{K}$ | temperaturna zavisnost koeficijenta |
| a, b, c, d, e, f | - | korelacijski faktori |
| a | - | zrak (air) |
| an | - | godišnji (annual) |
| aux | - | pomoćni, električni (auxiliary) |
| avg | - | prosječni (average) |
| bu | - | pomoćni (back up) |
| cw | - | hladna voda (cold water) |
| dis | - | distribucija (distribution) |
| e | - | vanjski (external) |
| E | kWh/ m^2 | Sunčev zračenje na nagnutoj površini |
| f_{aux} | - | udio volumena spremnika za pomoćno grijanje |
| f | % | sunčani udio |
| f_{st} | - | korekcijski faktor spremnika |
| H | - | grijanje prostora (space heating) |
| HDD | - | stupanj-dan grijanja (heating degree day) |
| I | W/ m^2 | Sunčev zračenje na površinu kolektora |
| IAM | - | modifikator upadnog kuta kolektora |
| in | - | ulaz u sustav (input to system) |
| int | - | unutarnji (internal) |
| $loop$ | - | petlja kolektora (collector loop) |
| ls | - | gubici (losses) |
| m | - | mjesečni (monthly) |
| nom | - | nominalni (nominal) |
| $nrbl$ | - | neiskoristivi (non recoverable) |
| $nrvd$ | - | neiskorišteni (non recovered) |
| out | - | izlaz iz sustava (output from system) |
| P | W | snaga |
| PTV | - | potrošna topla voda |
| p | - | pumpa (pump) |

| | | |
|-----------------------|--------------------|--|
| <i>tbl</i> | - | iskoristivi (recoverable) |
| <i>ref</i> | - | referenca (reference) |
| <i>set point</i> | - | zadana točka |
| <i>sol</i> | - | sunčevi (solar) |
| <i>st</i> | - | spremnik (storage) |
| <i>th</i> | - | toplinski (thermal) |
| <i>tot</i> | - | ukupni (total) |
| <i>us</i> | - | upotreba (use) |
| <i>Q</i> | kWh | iznos toplinske energije |
| <i>t</i> | h | vrijeme |
| <i>U</i> | W/m ² K | koeficijent gubitka topline |
| <i>V</i> | l | volumen |
| <i>W</i> | kWh | električna energija |
| <i>y</i> | - | godišnje (year) |
| <i>XY</i> | - | bez dimenzijski faktor |
| <i>ΔT</i> | K | razlika referentne temperature |
| <i>Θ_a</i> | °C | prosječna ambijentalna temperatura zraka za zadani period |
| <i>Θ_{cw}</i> | °C | temperatura vodovodne vode |
| <i>Θ_e</i> | °C | prosječna vanjska temperatura zraka za zadani period |
| <i>η</i> | - | faktor korisnosti |
| <i>η₀</i> | - | multi faktor korisnosti koji je povezan sa površinom kolektora |

Sadržaj

| | |
|--|----|
| 1. Uvod | 12 |
| 2. Slika i nacrti objekta | 13 |
| 3. Norma HRN EN 15316-4-3 | 15 |
| 4. Metoda B [16] | 16 |
| 5. Proračun isplativosti sustava | 17 |
| 5.1. Početni parametri..... | 17 |
| 5.2. Mjesečni klimatski podaci..... | 18 |
| 5.2.1. Referentna temperatura za PTV i razlika u temperaturi | 19 |
| 5.3. Određivanje potrošnje toplinske energije | 20 |
| 5.3.1. Broj grijanih „stupanj-dana“ | 21 |
| 5.3.2. Mjesečne toplinske potrebe PTV i grijanja prostora | 22 |
| 5.4. Određivanje faktora X i Y te dobitka energije solarnog sustava..... | 23 |
| 5.5. Određivanje potrošnje energije pumpe | 24 |
| 5.6. Određivanje toplinskih gubitaka solarnog toplovodnog sustava..... | 25 |
| 5.7. Određivanje iskoristivosti gubitaka solarnog sustava..... | 27 |
| 5.8. Reducirana mjesečna potrošnja | 28 |
| 5.8.1. Smanjenje toplinskih gubitaka pomoćnog generatora topline | 29 |
| 5.9. Proračun godišnjih rezultata..... | 30 |
| 5.10. Financijski podaci o investiciji..... | 31 |
| 5.11. Isplativost ugradnje solarnog sustava (povrat investicije) | 32 |
| 5.12. Proračun isplativosti uz poticaje | 33 |
| 6. Shema i opis solarnog sustava..... | 34 |
| 7. Opis i odabir komponenta solarnog sustava | 35 |
| 7.1. Solarni kolektori | 36 |
| 7.1.1. Cijevni vakuumski solarni kolektor CVSKC-10..... | 37 |
| 7.1.2. Potreban broj kolektora..... | 38 |
| 7.2. Solarni inox bojler STEB-200..... | 39 |
| 7.2.1. Osnovni dijelovi i tehnički podaci bojlera | 40 |
| 7.2.2. Solarna regulacija spremnika STEB | 41 |
| 7.3. Akumulacijski spremnik CAS-S 501..... | 42 |
| 7.3.1. Osnovni dijelovi i tehnički podaci spremnika | 43 |

| | |
|---|----|
| 7.4. Kotao EKO-CUP M3..... | 44 |
| 7.4.1. Sastavni dijelovi i tehnički podaci kotla | 44 |
| 7.5. Proračun pada tlaka..... | 46 |
| 7.6. Solarne pumpne grupe CSPG-260..... | 49 |
| 7.6.1. Elementi i karakteristike solarne pumpne grupe CSPG-260..... | 50 |
| 7.7. Dimenzioniranje i odabir ekspanzijske posude | 51 |
| 7.8. Montažni set za 2 solarna kolektora (ravni krov) | 52 |
| 8. Zaključak..... | 53 |
| 9. Literatura..... | 55 |
| Popis slika | 57 |
| Popis tablica | 58 |

1. Uvod

Sunce je u cijelosti plinovito: 70 posto vodika, 28 posto helija i 2 posto težih elemenata. Vanjski vidljiv sloj naziva se fotosfera. Sunce zapravo nema "površine", a njegova se atmosfera proteže do Zemlje i dalje, pri čemu biva sve rjeđa. Na Suncu je gotovo sve električki vodljivo jer ne postoji mnogo nedirnutih neutralnih atoma. Silne energije topline i zračenja pobuđuju elektrone dok ne iskoče iz atoma i stvore kipuću kašu pozitivno nabijenih elektrona nazvanu plazmom koja može provoditi struju lako poput bakrene žice. Kao i svaki drugi električno nabijeni objekt, plazma u pokretu proizvodi magnetska polja. Kako se ta polja kreću, stvaraju veći protok struje, što, pak, proizvodi više polja. Izvor te energije je nuklearna fuzija, a veliki dio te energije je svjetlost u obliku gama zračenja – zračenja najveće energije u elektromagnetskom spektru. [1]

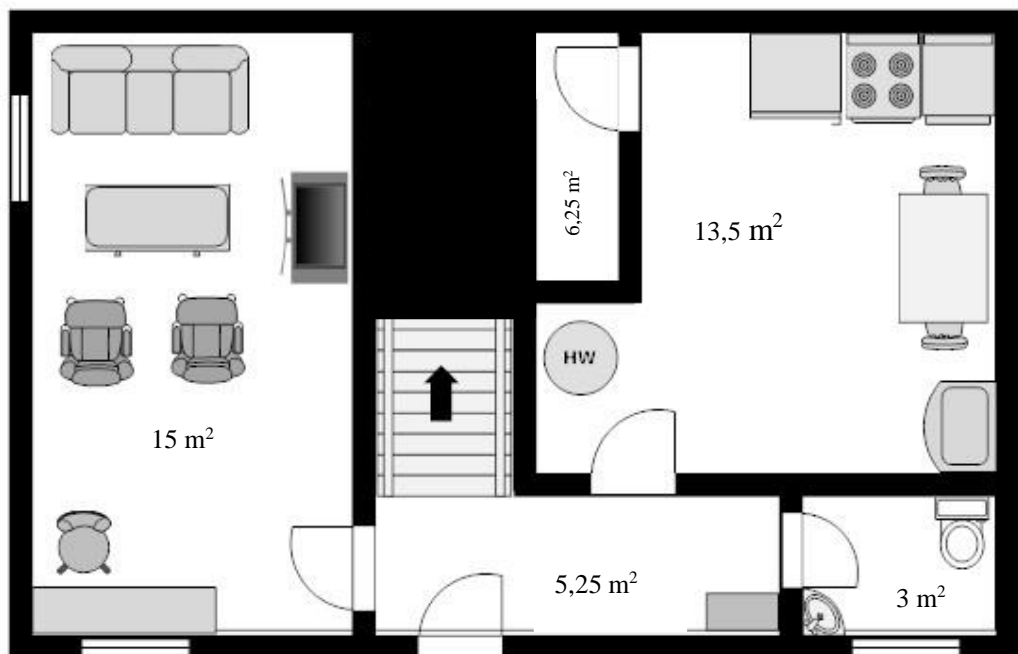
Zemlja kontinuirano prima 174 PW dolazećeg sunčeva zračenja (insolacije) u gornjoj atmosferi. Kada dođe do atmosfere, 6 % sunčevog zračenja se reflektira, a 16 % se apsorbira. Prosječni atmosferski uvjeti (oblaci, prašina, čestice zagađenja) nadalje umanjuju sunčeve zračenje za 20 % refleksijom i 3 % apsorpcijom. Ovi atmosferski uvjeti ne samo da umanjuju količinu energije koja dopire do zemljine površine, nego i raspršuju otprilike 20 % dolazne svjetlosti i filtriraju neke dijelove spektra. Nakon prolaska kroz atmosferu, otprilike pola sunčevog zračenja je u vidljivom dijelu elektromagnetskog spektra, a druga polovina je u infracrvenom dijelu spektra (samo mali dio je ultraljubičasto zračenje). Ukupna sunčeva energija apsorbirana u Zemljinoj atmosferi, oceanima i kopnenim masama je otprilike 3,850.000 eksa džula (EJ) godišnje. Godine 2002., ovo je u jednom satu dalo više energije nego čitavo čovječanstvo potroši tijekom jedne godine. Fotosinteza uhvati otprilike 3,000 EJ godišnje u biomasu. Količina sunčeve energije koja dosegne Zemljiniu površinu tako je velika da je dvostruko veća od ukupne energije koju će čovječanstvo ikada zadobiti iz svih neobnovljivih izvora ugljena, nafte, prirodnog plina i iskopanog urana zajedno. [2]

Solarni kolektori kao takvi, se sve više primjenjuju u velikim postrojenjima, ali isto tako i manja kućanstva su uvidjela korist od ugradnje solarnih kolektora. Kako bi se mogla odrediti iskoristivost i isplativost nekog solarnog sustava, bitno je znati kako će se taj sustav ponašati na određenim uvjetima. Pri tome su od velike pomoći proračunske metode u normi HRN EN 15316-4-3. Kao što je „f-chart“ metoda kojom će se proračunavati isplativost ugradnje solarnih kolektora za obiteljsku kuću (tročlana obitelj) na području grada Varaždina u nastavku rada. Biti će opisan proračun za projektiranje sustava zagrijavanja potrošne tople vode (PTV) i grijanje prostora.

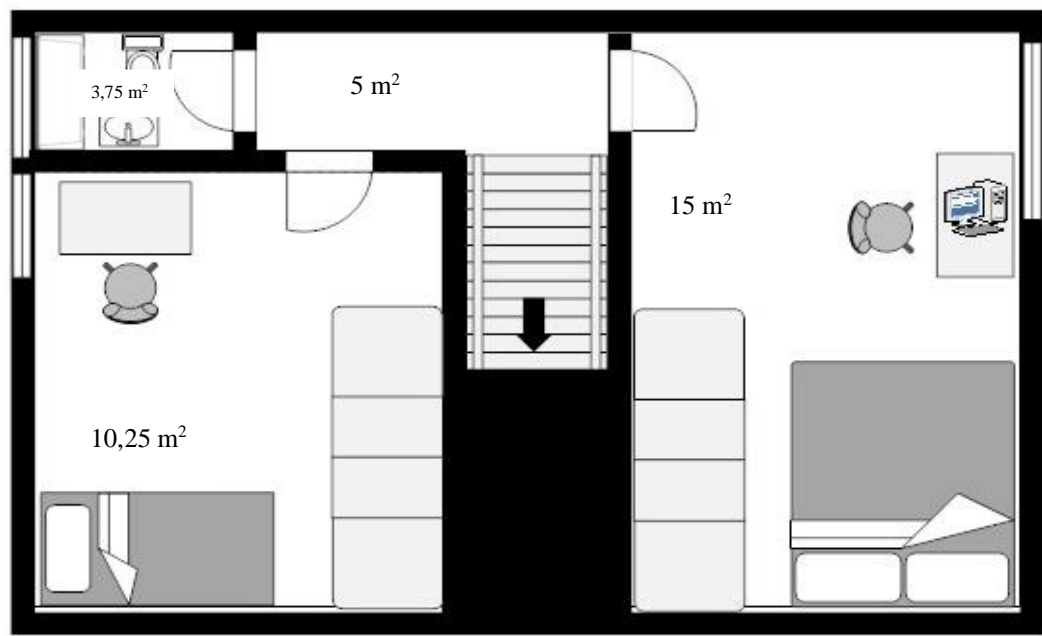
2. Slika i nacrti objekta



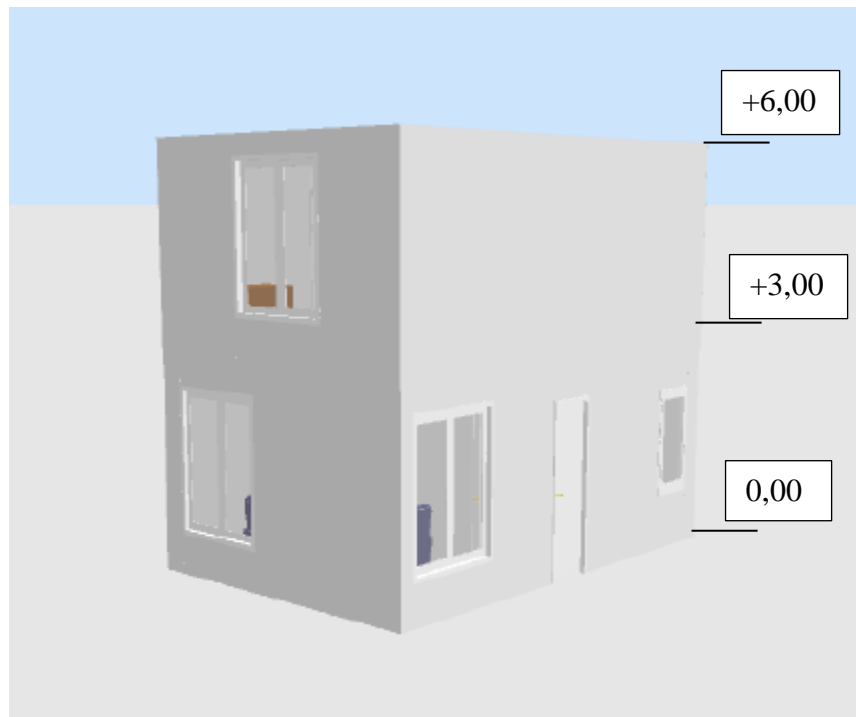
Slika 2.1. Kuća u gradu Varaždinu



Slika 2.2. Tlocrt kuće-prizemlje



Slika 2.3. Tlocrt kuće-prvi kat

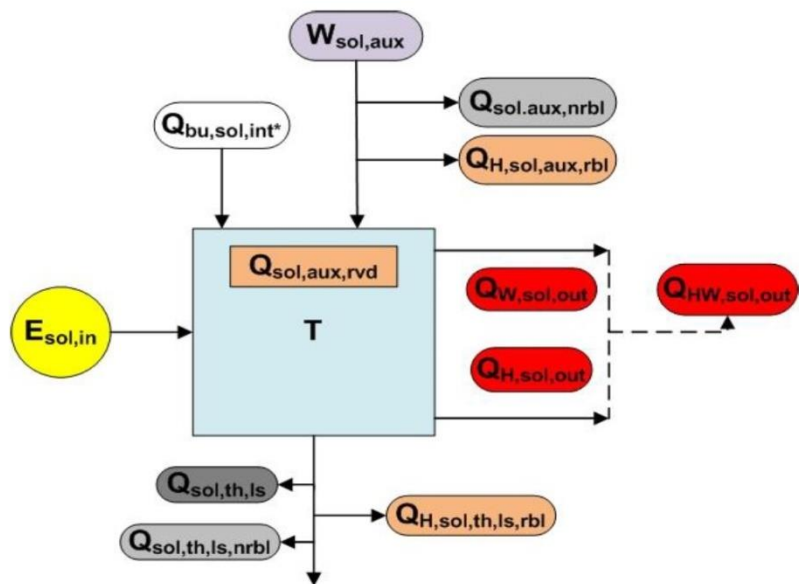


Slika 2.4. 3D prikaz kuće

3. Norma HRN EN 15316-4-3

Norma sadrži metode za proračun energijskih zahtjeva i učinkovitosti sustava (sustavi proizvodnje topline, sunčani toplinski sustavi i foto naponski sustavi). Proračunava se ukupna količina energije potrebna za grijanje, energija koja se dobije iz solarnog sustava, gubitci u tom sustavu, te uštede u usporedbi sa trenutnim sustavom. Postoje dvije metode: metoda A i metoda B koja se temelji na f-chart metodi.

Za proračun isplativosti ovog sustava koristiti će se metoda B („f-chart“ metoda), koja će biti detaljnije opisana u nastavku rada.



Slika 3. Toplinska bilanca solarnog sustava [16]

$E_{sol,in}$ - ozračena sunčeva energija na kolektore

$Q_{Wsol,out}$ - toplina dovedena sustavu distribucije PTV-a

$Q_{Hsol,out}$ - toplina dovedena sustavu distribucije grijanja

$Q_{bu,sol,int}$ - potrebna toplina od dodatnog izvora

$W_{sol, aux}$ - pomoćna energija za pogon pumpi i regulacije

$Q_{sol, th, ls}$ - ukupni toplinski gubici solarnog sustava

rbl - iskoristivi toplinski gubici

rvd - iskorišteni toplinski gubici

nrbl - neiskoristivi toplinski gubici

4. Metoda B [16]

Kod proračuna metodom B koriste se mjeri podaci o karakteristikama korištenih komponenti. Kod proračuna se mogu razlikovat tri slučaja, a to su: samo priprema PTV-a, samo grijanje prostora, kombinacija sustava za pripremu PTV-e i grijanja prostora.

Koraci metode B:

1. definirati potrebe primijenjene na toplinski sunčani sustav:
 - proračunati udio potrebne topline za grijanje spram ukupne potrebne topline (PH)
 - proračunati udio potrebne topline za PTV spram ukupne potrebne topline (PW)
2. proračunati udio X (sličan omjeru gubitaka spram primjenjenoj toplini):
 - odrediti površinu kolektora A
 - odrediti koeficijent gubitka topline kolektorske petlje U_{loop}
 - odrediti faktor korisnosti kolektorske petlje η_{loop}
 - izračunati razliku referentnih temperatura ΔT
 - izračunati korekcijski faktor solarnog spremnika f_{st} koji ovisi o konfiguraciji sustava (sustav pred grijanja ili solarni-plus-dodatni sustav)
 - pripisati obujam spremnika za grijanje ili pripremu PTV
3. proračunati udio Y (sličan omjeru solarnog dobitka spram primjenjene topline):
 - odrediti nulti faktor iskoristivosti kolektora η_0 ;
 - odrediti sunčevu zračenje I na površini kolektora
4. izračunati toplinski dobitak za grijanje i pripremu PTV i ukupni toplinski dobitak
5. izračunati potrošnju pomoćne energije
6. izračunati toplinske gubitke sustava;
 - odrediti toplinske gubitke solarnog spremnika
 - odrediti toplinske gubitke distribucije između sustava i pomoćnog grijajućeg
7. izračunati iskoristivost gubitaka sustava:
 - odrediti iskoristivost gubitaka pomoćne energije
 - odrediti iskoristivost toplinskih gubitaka spremnika
 - odrediti iskoristivost toplinskih distribucijskih gubitaka

5. Proračun isplativosti sustava

Kao što je navedeno na početku rada, biti će opisan proračun za sustav pripreme PTV-e i grijanja prostora, upotrebom metode B. U nastavku rada, tablice koje će sadržavati parametre za proračun, biti će u dva formata. Crna slova i brojke označavati će ulazne veličine, a crvena slova i brojke označavati će izlazne veličine dobivene proračunom. Proračun cijelokupnog rada pisan je u Microsoft Office Excelu- u, te se nalazi u prilogu ovog rada.

5.1. Početni parametri

| | |
|-----------------------------------|----------|
| A [m ²] | 3,68 |
| V_{sol} [l] | 475 |
| a_1 [W/m ² K] | 0,85 |
| a_2 [W/m ² K] | 0,01 |
| η_{loop} | 0,9 |
| IAM | 0,97 |
| η_o | 0,8 |
| Θ_{ref} [°C] | 100 |
| Θ_w [°C] | 40 |
| Θ_{cw} [°C] | 10 |
| $P_{aux, nom}$ [W] | 32,36 |
| V_{ref} [l] | 288 |
| $U_{loop,p}$ [W/m ² K] | 6,84 |
| U_{loop} [W/m ² K] | 3,108696 |
| f_{st} | 0,88242 |

Tablica 5.1. Početni parametri

U prvi dio tablice unesene su svojstvene vrijednosti za solarni sustav, a to su:

- A [m²] – površina solarnih kolektora
- V_{sol} [l] – volumen solarnog spremnika
- a_1 [W/m²K] – koeficijent gubitka topline solarnih kolektora prvog reda
- a_2 [W/m²K] – koeficijent gubitka topline solarnih kolektora drugog reda
- η_{loop} – faktor korisnosti petlje kolektora, $\eta_{loop} = 0,9$ [16]

- IAM – modifikator upadnog kuta kolektora i ovisi o vrsti kolektora, za vakuumskie cijevne kolektore sa plosnatim apsorberom, $IAM = 0,97$ [16]
- η_0 – nulti faktor korisnosti koji je povezan sa površinom kolektora, $\eta_0 = 0,8$ [16]
- Θ_{ref} [$^{\circ}\text{C}$] – referentna temperatura za grijanje, $\Theta_{ref} = 100$ $^{\circ}\text{C}$ [16]
- Θ_W [$^{\circ}\text{C}$] – željena temperatura tople vode, $\Theta_W = 40$ $^{\circ}\text{C}$ [16]
- Θ_{cW} [$^{\circ}\text{C}$] – temperatura vodovodne vode, $\Theta_{cW} = 10$ $^{\circ}\text{C}$ [16]
- $P_{aux, nom}$ [W] – nominalna snaga solarne pumpe (pumpne grupe)

U drugom dijelu tablice nalaze se vrijednosti dobivene proračunom:

- V_{ref} [l] – referentni obujam
 - $V_{ref} = 75 \cdot A = 288$ l
- $U_{loop,p}$ [W/m²K] – koeficijent gubitaka topline svih cijevi u petlji kolektora
 - $U_{loop,p} = 5 + 0,5 \cdot A = 6,84$ [W/m²K]
- U_{loop} [W/m²K] – ukupni koeficijent gubitaka topline
 - $U_{loop} = a_1 + a_2 \cdot 40 + U_{loop,p} / A = 3,108696$ [W/m²K]
- f_{st} – korekcijski faktor kapaciteta solarnog spremnika
 - $f_{st} = (V_{ref} / V_{sol})^{0,25} = 0,88242$

5.2. Mjesečni klimatski podaci

| | Sij | Velj | Ožu | Tra | Svi | Lip | Srp | Kol | Ruj | List | Stu | Pro | Σ |
|---|------|------|-------|-------|-------|-------|-------|-------|-------|-------|------|------|----------|
| Dana | 31 | 28 | 31 | 30 | 31 | 30 | 31 | 31 | 30 | 31 | 30 | 31 | |
| $\Theta_{e,avg}$ [$^{\circ}\text{C}$] | -0,5 | 1,4 | 5,7 | 10,7 | 15,4 | 18,9 | 20,4 | 19,6 | 15,5 | 10,4 | 5,5 | 1,1 | |
| I_m [W/m ²] | 63,8 | 99,6 | 152 | 180,6 | 206 | 215,7 | 222,2 | 208,7 | 192,1 | 139,7 | 69,9 | 47 | |
| $E_{sol,in}$ [kWh/m ²] | 47,5 | 66,9 | 113,1 | 130,0 | 153,3 | 155,3 | 165,3 | 155,3 | 138,3 | 103,9 | 50,3 | 35,0 | 1314 |
| t_m [h] | 744 | 672 | 744 | 720 | 744 | 720 | 744 | 744 | 720 | 744 | 720 | 744 | 8760 |

Tablica 5.2. Mjesečni klimatski podaci

Ulagne vrijednosti:

- $\theta_{e,avg}$ [°C] – prosječna temperatura za zadani mjesec [18]
- I_m [W/m²] – prosječno sunčev zračenje na površinu kolektora za zadani mjesec [19]

Dobivene vrijednosti:

- $E_{sol,in}$ [KWh/m²] – mjesecno sunčev zračenje na površinu kolektora
 - $E_{sol,in} = I_m \cdot t_m$
- t_m [h] – trajanje mjeseca u satima
 - $t_m = \text{broj dana} \cdot 24 \text{ h}$

5.2.1. Referentna temperatura za PTV i razlika u temperaturi

| | Sij | Velj | Ožu | Tra | Svi | Lip | Srp | Kol | Ruj | List | Stu | Pro |
|---------------------|------|------|------|------|------|------|------|------|------|------|------|------|
| θ_{ref} [°C] | 98,1 | 95,6 | 89,9 | 83,3 | 77,1 | 72,5 | 70,5 | 71,5 | 76,9 | 83,7 | 90,1 | 95,9 |
| ΔT [°C] | 98,6 | 94,2 | 84,2 | 72,6 | 61,7 | 53,6 | 50,1 | 51,9 | 61,4 | 73,3 | 84,6 | 94,8 |

Tablica 5.2.1. Referentna temperatura za PTV i razlika u temperaturi

Dobivene vrijednosti:

- θ_{ref} [°C] (za pripremu PTV) – referentna temperatura vode za pripremu potrošne tople vode
 - $\theta_{ref} = 11,6 + 1,18 \cdot \theta_w + 3,86 \cdot \theta_{cw} - 1,32 \cdot \theta_{e,avg}$
- ΔT [°C] – razlika referentne temperature
 - $\Delta T = \theta_{ref} - \theta_{e,avg}$

5.3. Određivanje potrošnje toplinske energije

Kako bi se odredila potrošnja toplinske energije, prvo je potrebno unijet neke podatke, a to su: prosječna dnevna potrošnja tople vode, temperaturni raspon zagrijavanja vode, površinu kuće koju je potrebno grijati, godišnja energija za grijanje u kWh/m², sezonu grijanja, zadalu temperaturu za grijanje te toplinske gubitke distribucije energije (prepostavka 10% od prosječne dnevne upotrebe energije [16]).

| | |
|---|------------------|
| Dnevna potrošnja tople vode [l/dan] | 100 |
| θ_{\min} [°C] | 10 |
| θ_{\max} [°C] | 65 |
| Grijana površina [m²] | 80 |
| Potrebna godišnja energija za grijanje [kWh/m²] | 100 |
| Sezona grijanja [mj] | 9-5 |
| Zadana temperatura za grijanje [°C] | 15 |
| Toplinski gubici distribucije [%] | 10 |
| Prosječna dnevna potrošnja energije za PTV [kWh/dan], Q_{PTV} | 6,386 |
| Prosječni dnevni gubici energije za PTV [kWh/dan], $Q_{PTV,ls\%}$ | 0,639 |
| Ukupna godišnja potrošnja energije za grijanje prostora [kWh], $Q_{H,an}$ | 8000 |
| Godišnji gubici energije za grijanje prostora [kWh], $Q_{H,an,ls\%}$ | 800 |

Tablica 5.3 Toplinska energija potrebna za PTV i grijanje prostora

Dobivene vrijednosti:

- $Q_{PTV} = (dnevnaPTV) \cdot (\theta_{\max} - \theta_{\min}) \cdot 4180 / (3,6 \cdot 10^6) = 6,386 \text{ [kWh/dan]}$
 - 4180 – specifična topline vode pri temperaturi 20 °C
- $Q_{PTV,ls\%} = Q_{PTV} \cdot 0,1 = 0,6386 \text{ [kWh/dan]}$

- $Q_{H,an} = Q_{H,nd} \cdot A_k = 100 \cdot 80 = 8000 [kWh]$
 - $Q_{H,nd}$ (godišnja potrebna energija za grijanje prostorije po metru kvadratnom gradnje)
 - A_k (ukupna površina kuće u metrima kvadratnim)
- $Q_{H,an,ls\%} = Q_{H,an} \cdot 0,1 = 800 [kWh]$

5.3.1. Broj grijanih „stupanj-dana“

HDD_m odnosno mjesecni iznos stupanj-dana potreban je za definiranje potreba za grijanjem tijekom svakog mjeseca.

| | Sij | Velj | Ožu | Tra | Svi | Lip | Srp | Kol | Ruj | List | Stu | Pro |
|-----------------------|-------|-------|-------|------|------|------|------|------|------|-------|-----|-------|
| Dana | 31 | 28 | 31 | 30 | 31 | 30 | 31 | 31 | 30 | 31 | 30 | 31 |
| $\theta_{e,avg}$ [°C] | -0,5 | 1,4 | 5,7 | 10,7 | 15,4 | 18,9 | 20,4 | 19,6 | 15,5 | 10,4 | 5,5 | 1,1 |
| HDD_m | 480,5 | 380,8 | 288,3 | 129 | 0 | 0 | 0 | 0 | 0 | 142,6 | 285 | 430,9 |

Tablica 5.3.1. Mjesecni iznos stupanj-dana

Dobivene vrijednosti:

- $HDD_m = (15 - \theta_{e,avg}) \cdot \text{broj dana}$
 - 15 – zadana temperatura za grijanje [°C]

5.3.2. Mjesečne toplinske potrebe PTV i grijanja prostora

| | Sij | Velj | Ožu | Tra | Svi | Lip | Srp | Kol | Ruj | List | Stu | Pro |
|---------------------------|--------|--------|--------|--------|--------|--------|--------|--------|--------|--------|--------|--------|
| Dana | 31 | 28 | 31 | 30 | 31 | 30 | 31 | 31 | 30 | 31 | 30 | 31 |
| $Q_{W,sol,us,m}$ [kWh] | 217,76 | 196,69 | 217,76 | 210,74 | 217,76 | 210,74 | 217,76 | 217,76 | 210,74 | 217,76 | 210,74 | 217,76 |
| $Q_{H,sol,us,m}$ [kWh] | 1978,7 | 1568,1 | 1187,2 | 531,2 | 0,00 | 0,00 | 0,00 | 0,00 | 0,00 | 587,2 | 1173,6 | 1774,4 |
| P_w | 0,10 | 0,11 | 0,15 | 0,28 | 1,00 | 1,00 | 1,00 | 1,00 | 1,00 | 0,27 | 0,15 | 0,11 |
| P_H | 0,90 | 0,89 | 0,85 | 0,72 | 0,00 | 0,00 | 0,00 | 0,00 | 0,00 | 0,73 | 0,85 | 0,89 |

Tablica 5.3.2. Potrebe grijanja PTV i prostora

Dobivene vrijednosti:

- $Q_{W,sol,us,m}$ [kWh] – mjesečni iznos energije primijenjene na toplovodni sunčev sustav za PTV

$$Q_{W,sol,us,m} = (Q_{PTV} + Q_{PTV,ls\%}) \cdot dana$$

- $Q_{H,sol,us,m}$ [kWh] – mjesečni iznos energije primijenjene na toplovodni sunčev sustav za grijanje prostora

$$Q_{H,sol,us,m} = (HDD_m / HDD_{an}) \cdot (Q_{H,an} + Q_{H,an,ls\%})$$

$$HDD_{an} = \sum HDD_m$$

- $P_w = Q_{W,sol,us} / (Q_{W,sol,us} + Q_{H,sol,us})$
- $P_H = Q_{H,sol,us} / (Q_{W,sol,us} + Q_{H,sol,us})$

Koeficijenti P_w i P_H pokazuju u kojim odnosima se jedan solarni spremnik dijeli na dio za PTV i dio za grijanje prostora [16].

5.4. Određivanje faktora X i Y te dobitka energije solarnog sustava

Za određivanje željenih faktora, prvo je potreban ulazni podatak za kakvu vrstu sustava se radi proračun. Pošto se radi o sustavu koji ima vodeni spremnik, korekcijski faktori [16] su slijedeći:

- a = 1,029
- b = -0,065
- c = -0,245
- d = 0,0018
- e = 0,0215
- f = 0

| | Sij | Velj | Ožu | Tra | Svi | Lip | Srp | Kol | Ruj | List | Stu | Pro | Σ |
|---------------------------|--------|--------|--------|--------|--------|--------|--------|--------|--------|--------|--------|--------|----------|
| $Q_{W,sol,us,m}$ [kWh] | 217,76 | 196,69 | 217,76 | 210,74 | 217,76 | 210,74 | 217,76 | 217,76 | 210,74 | 217,76 | 210,74 | 217,76 | 2564 |
| X_w | 105,35 | 138,84 | 209,49 | 223,49 | 232,76 | 234,52 | 247,78 | 238,44 | 215,83 | 194,66 | 109,27 | 79,20 | |
| Y_w | 0,056 | 0,097 | 0,207 | 0,450 | 1,809 | 1,894 | 1,951 | 1,833 | 1,687 | 0,332 | 0,093 | 0,045 | |
| $Q_{Wsol,out,m}$ [kWh] | 8,02 | 15,14 | 38,43 | 78,99 | 232,76 | 234,52 | 247,78 | 238,44 | 215,83 | 60,08 | 14,39 | 5,48 | 1389,86 |

Tablica 5.4.1. Faktori X, Y i toplinski dobitak za PTV

| | Sij | Velj | Ožu | Tra | Svi | Lip | Srp | Kol | Ruj | List | Stu | Pro | Σ |
|----------------------------|--------|--------|--------|--------|------|------|------|------|------|--------|--------|--------|----------|
| $Q_{H,sol,us,m}$ [kWh] | 1978,7 | 1568,1 | 1187,2 | 531,2 | 0,00 | 0,00 | 0,00 | 0,00 | 0,00 | 587,2 | 1173,6 | 1774,4 | 8800,4 |
| X_h | 0,30 | 0,33 | 0,40 | 0,64 | 0,00 | 0,00 | 0,00 | 0,00 | 0,00 | 0,62 | 0,40 | 0,32 | |
| Y_h | 0,06 | 0,10 | 0,21 | 0,45 | 0,00 | 0,00 | 0,00 | 0,00 | 0,00 | 0,33 | 0,09 | 0,05 | |
| $Q_{H,sol,out,m}$ [kWh] | 72,92 | 120,76 | 209,60 | 199,15 | 0,00 | 0,00 | 0,00 | 0,00 | 0,00 | 162,05 | 80,18 | 44,70 | 889,35 |

Tablica 5.4.2. Faktori X, Y i toplinski dobitak za grijanje prostora

Dobivene vrijednosti:

- $X_{W,H} = A \cdot P_{W,H} \cdot U_{loop} \cdot \eta_{loop} \cdot \Delta T \cdot f_{st} \cdot t_m / (Q_{W,H,sol,us,m} \cdot 1000)$
- $Y_{W,H} = A \cdot P_{W,H} \cdot IAM \cdot \eta_0 \cdot \eta_{loop} \cdot I_m \cdot t_m / (Q_{W,H,sol,us,m} \cdot 1000)$

Za proračun bez dimenzijskih faktora X i Y, zasebno se uvrštavaju vrijednosti PTV i grijanja prostora.

- $Q_{W,sol,out,m} = (a \cdot Y + b \cdot X + c \cdot Y^2 + d \cdot X^2 + e \cdot Y^3 + f \cdot X^3) \cdot Q_{w,sol,us,m}$
- $Q_{H,sol,out,m} = (a \cdot Y + b \cdot X + c \cdot Y^2 + d \cdot X^2 + e \cdot Y^3 + f \cdot X^3) \cdot Q_{H,sol,us,m}$

Radi provjere točnosti dobivenih rezultata, važno je znati da solarni dobitak ne može biti negativan i da dobitak energije ne može biti veći od primijenjene energije za određeni mjesec.

5.5. Određivanje potrošnje energije pumpe

| | Sij | Velj | Ožu | Tra | Svi | Lip | Srp | Kol | Ruj | List | Stu | Pro | Σ |
|-----------------------|------|-------|-------|-------|-------|-------|-------|-------|-------|-------|------|------|----------|
| $t_{aux,m}$ [h] | 72,2 | 101,8 | 172,1 | 197,8 | 233,2 | 236,4 | 251,2 | 236,2 | 210,4 | 158,2 | 76,6 | 53,2 | 2000 |
| $W_{sol,aux,m}$ [kWh] | 1,08 | 1,53 | 2,58 | 2,97 | 3,50 | 3,55 | 3,77 | 3,54 | 3,16 | 2,37 | 1,15 | 0,80 | 30,00 |

Tablica 5.5. Mjesečni rad i potrošnja energije pumpe

Dobivene vrijednosti:

- $t_{aux,an} = 2000 h$ [16]
 - $t_{aux,m} = (E_{sol,in,m} / E_{sol,in,a}) \cdot t_{aux,an}$ (mjesečno trajanje rada pumpe)
 - $E_{sol,in,a} = \sum E_{sol,in,m}$
- $W_{sol,aux,m}$ [kWh] – mjesečna potrošnja pomoćne energije
 - $W_{sol,aux,m} = P_{aux,nom} \cdot t_{aux,m} / 1000$
 - $P_{aux,nom} = 15 W$ [22]

5.6. Određivanje toplinskih gubitaka solarnog toplovodnog sustava

| | |
|------------------------------|-------|
| $\Theta_{W, set point}$ [°C] | 60 |
| $\Theta_{H, set point}$ [°C] | 40 |
| U_{st} [W/K] | 3,487 |

Tablica 5.6.1. Ukupni koeficijent gubitka topline solarnog spremnika

Ulazne vrijednosti:

- $\Theta_{W, set point}$ [°C] – zadana vrijednost temperature za PTV prema normi iznosi 60 °C
- $\Theta_{H, set point}$ [°C] – zadana vrijednost temperature za grijanje prostora prema normi iznosi 40 °C [16]

Dobivena vrijednost:

- U_{st} [W/K] – ukupni koeficijent gubitka topline solarnog spremnika

$$U_{st} = 0,16 \cdot V_{sol}^{0,5} = 0,16 \cdot 475^{0,5} = 3,487 \text{ [W / K]}$$

Za daljnji proračun potrebno je odgovoriti na dva pitanja, a to su:

- Gdje se nalazi solarni spremnik?
 - U ne-grijanom prostoru
- Da li je cjevovod između solarnog sustava i grijaća toplinski izoliran?
 - Da

Sa odgovorima na ova pitanja definirani su podaci potrebni za daljnji proračun, ka što su:

- $\Theta_{a, avg}$ [°C] – prosječna temperatura zraka u kojem se nalazi solarni spremnik
 - solarni spremnik u negrijanom prostoru :
$$\theta_{a, avg} = \theta_{e, avg} + (20^\circ C - \theta_{e, avg})/2 \text{ [16]}$$
- $Q_{bu, dis, ls, m}$ [kWh] – toplinski gubici distribucije između solarnog sustava i pomoćnog grijaća (izolirani cjevovod):

$$Q_{bu, dis, ls, m} = 0,02 \cdot Q_{sol, us, m} \cdot (Q_{sol, out, m} / Q_{sol, us, m}) \text{ [16]}$$

| | Sij | Velj | Ožu | Tra | Svi | Lip | Srp | Kol | Ruj | List | Stu | Pro | Σ |
|------------------------------|------|-------|-------|-------|--------|--------|--------|--------|--------|-------|-------|------|----------|
| $Q_{W,sol,st,ls,m}$ [kWh] | 4,89 | 9,28 | 22,73 | 44,23 | 122,15 | 115,39 | 116,31 | 108,37 | 102,08 | 30,31 | 7,72 | 3,19 | 686,66 |
| $Q_{H,sol,st,ls,m}$ [kWh] | 2,98 | 5,68 | 13,58 | 25,41 | 0,00 | 0,00 | 0,00 | 0,00 | 0,00 | 16,00 | 4,30 | 1,89 | 69,84 |
| $Q_{W,bu,dis,ls,m}$ [kWh] | 0,16 | 0,30 | 0,77 | 1,58 | 4,66 | 4,69 | 4,96 | 4,77 | 4,32 | 1,20 | 0,29 | 0,11 | 28 |
| $Q_{H,bu,dis,ls,m}$ [kWh] | 1,46 | 2,42 | 4,19 | 3,98 | 0,00 | 0,00 | 0,00 | 0,00 | 0,00 | 3,24 | 1,60 | 0,89 | 18 |
| $Q_{sol,ls,m}$ [kWh] | 9,49 | 17,67 | 41,28 | 75,20 | 126,81 | 120,08 | 121,26 | 113,14 | 106,40 | 50,76 | 13,91 | 6,08 | 802,08 |
| $\theta_{a,avg}$ [C] | 8,8 | 8,55 | 10,35 | 13 | 15,95 | 18,7 | 20,6 | 21,85 | 20,3 | 17,65 | 14,95 | 11,1 | |

Tablica 5.6.2. Mjesečni i ukupni (godišnji) gubici

- $Q_{W,sol,st,ls,m}$ [kWh] - mjesečni toplinski gubitak PTV-e

$$Q_{W,sol,st,ls,m} = U_{st} \cdot (\theta_{W,sepo\ int} - \theta_{a,avg}) \cdot (Q_{W,sol,out,m} / Q_{W,sol,us,m}) \cdot t_m / 1000$$

- $Q_{H,sol,st,ls,m}$ [kWh] - mjesečni toplinski gubitak grijanja prostora

$$Q_{H,sol,st,ls,m} = U_{st} \cdot (\theta_{H,sepo\ int} - \theta_{a,avg}) \cdot (Q_{H,sol,out,m} / Q_{H,sol,us,m}) \cdot t_m / 1000$$

- $Q_{W,bu,dis,ls,m}$ [kWh] – mjesečni distribucijski gubici za PTV

$$Q_{W,bu,dis,ls,m} = 0,02 \cdot Q_{W,sol,us,m} \cdot (Q_{W,sol,out,m} / Q_{W,sol,us,m})$$

- $Q_{H,bu,dis,ls,m}$ [kWh] – mjesečni distribucijski gubici za grijanje prostora

$$Q_{H,bu,dis,ls,m} = 0,02 \cdot Q_{H,sol,us,m} \cdot (Q_{H,sol,out,m} / Q_{H,sol,us,m})$$

- $Q_{sol,ls,m}$ [kWh] (ukupno) – ukupni mjesečni toplinski gubici sustava

$$Q_{sol,ls,m} = Q_{W,sol,st,ls,m} + Q_{H,sol,st,ls,m} + Q_{W,bu,dis,ls,m} + Q_{H,bu,dis,ls,m}$$

5.7. Određivanje iskoristivosti gubitaka solarnog sustava

Iskoristivost gubitaka solarnog sustava ovisi o mjestu ugradnje solarnog sustava, kako je već prije navedeno da se komponente solarnog sustava ne nalaze u grijanom prostoru, vrijednost iskoristivosti solarnog sustava je 50% [16]. Te je isto tako i vrijednost iskoristivosti pumpe 50%.

| | Sij | Velj | Ožu | Tra | Svi | Lip | Srp | Kol | Ruj | List | Stu | Pro | Σ |
|--------------------------------|------|------|-------|-------|-------|------|------|------|-------|-------|------|------|----------|
| $Q_{sol,aux,rbl,m}$ [kWh] | 0,54 | 0,76 | 1,29 | 1,48 | 1,75 | 0,00 | 0,00 | 0,00 | 1,58 | 1,19 | 0,57 | 0,40 | 9,57 |
| $Q_{sol,st,ls,rbl,m}$ [kWh] | 3,94 | 7,48 | 18,16 | 34,82 | 61,08 | 0,00 | 0,00 | 0,00 | 51,04 | 23,16 | 6,01 | 2,54 | 208,21 |
| $Q_{bu,dis,ls,rbl,m}$ [kWh] | 0,81 | 1,36 | 2,48 | 2,78 | 2,33 | 0,00 | 0,00 | 0,00 | 2,16 | 2,22 | 0,95 | 0,50 | 15,58 |
| $Q_{sol,ls,rbl,m}$ [kWh] | 5,29 | 9,60 | 21,93 | 39,09 | 65,15 | 0,00 | 0,00 | 0,00 | 54,78 | 26,56 | 7,53 | 3,44 | 233,37 |

Tablica 5.7. Iskoristivosti mjesecnih i ukupnih (godišnjih) toplinskih gubitaka

Dobivene vrijednosti:

- $Q_{sol,aux,rbl,m}$ [kWh] – mjesecni povratni iznos pomoćne energije

$$Q_{sol,aux,rbl,m} = W_{sol,aux,m} \cdot 50\%$$

- $Q_{sol,st,ls,rbl,m}$ [kWh] – mjesecni povratni iznos toplinskih gubitaka solarnog spremnika

$$Q_{sol,st,ls,rbl,m} = (Q_{W,sol,st,ls,m} + Q_{H,sol,st,ls,m}) \cdot 50\%$$

- $Q_{bu,dis,ls,rbl,m}$ [kWh] – mjesecni povratni iznos distribucijskih toplinskih gubitaka

$$Q_{bu,dis,ls,rbl,m} = (Q_{W,bu,dis,ls,m} + Q_{H,bu,dis,ls,m}) \cdot 50\%$$

- $Q_{sol,ls,rbl,m}$ [kWh] – zbroj svih povratnih iznosa (iznos pomoćne energije, toplinski gubici solarnog sustava, distribucijski toplinski gubici)

$$Q_{sol,ls,rbl,m} = Q_{sol,aux,rbl,m} + Q_{sol,st,ls,rbl,m} + Q_{bu,dis,ls,rbl,m}$$

5.8. Reducirana mjesecna potrošnja

| | Sij | Velj | Ožu | Tra | Svi | Lip | Srp | Kol | Ruj | List | Stu | Pro | Σ |
|-------------------------|-------|-------|------|------|------|-------|-------|-------|------|------|------|-------|----------|
| $f_{sol,m}$ | 0,04 | 0,09 | 0,18 | 0,32 | 0,51 | 1,11 | 1,14 | 1,09 | 0,49 | 0,24 | 0,07 | 0,03 | |
| $t_{p,bu,nom,m}$ [h] | 171 | 140 | 120 | 76 | 40 | 19 | 19 | 19 | 38 | 81 | 118 | 158 | 1000 |
| $W_{bu,nom,m}$ [kWh] | 13,66 | 11,22 | 9,60 | 6,12 | 3,24 | 1,48 | 1,53 | 1,53 | 3,07 | 6,52 | 9,42 | 12,61 | 80,00 |
| $W_{bu,aux,m}$ [kWh] | 13,09 | 10,26 | 7,85 | 4,16 | 1,60 | -0,17 | -0,21 | -0,15 | 1,55 | 4,95 | 8,75 | 12,26 | 63,95 |

Tablica 5.8. Mjesecni nominalni rad pumpe, solarni udio i nominalna potrošnja pomoćne energije

Dobivene vrijednosti:

- $f_{sol,m}$ – solarni udio

$$f_{sol,m} = Q_{sol,out,m} / Q_{sol,us,m}$$

- $t_{p,bu,nom,m}$ [h] – mjesecni iznos trajanja pumpe u satima, u slučaju odsutnosti rada solarnog sustava, prosječno godišnje trajanje rada pumpe iznosi 1000 h [16]

$$t_{p,bu,nom,m} = (Q_{sol,us,m} / \Sigma Q_{sol,us,m}) \cdot 1000$$

- $W_{bu,nom,m}$ [kWh] – mjesecna nominalna potrošnja pomoćne energije ne solarnog generatora topline

$$W_{bu,nom,m} = 80 \cdot t_{p,bu,nom,m} / 1000$$

- $W_{bu,aux,m}$ [kWh] – reducirana mjesecna potrošnja pomoćne energije ne solarnog generatora topline

$$W_{bu,aux,m} = W_{bu,nom,m} \cdot (1 - f_{sol,m})$$

Posljednji iznos u tablici koji iznosi 63,95 kWh, označuje reducirani iznos potrošnje pomoćne energije ne solarnog generatora topline na godišnjoj razini.

5.8.1. Smanjenje toplinskih gubitaka pomoćnog generatora topline

U slučaju da solarni sustav pokriva cijelokupne potrebe za toplinom kroz neki duži period, ne solarni generator topline se može isključiti pa se time smanjuju toplinski gubici koji bi se inače pojavili.

| | Sij | Velj | Ožu | Tra | Svi | Lip | Srp | Kol | Ruj | List | Stu | Pro | Σ |
|-------------------------|-------|-------|-------|-----|-------|-----|-------|-------|-----|-------|-----|-------|----------|
| $t_{bu,nom,m}$ [h] | 744 | 672 | 744 | 720 | 744 | 720 | 744 | 744 | 720 | 744 | 720 | 744 | |
| $Q_{bu,ls,nom,m}$ [kWh] | 297,6 | 268,8 | 297,6 | 288 | 297,6 | 288 | 297,6 | 297,6 | 288 | 297,6 | 288 | 297,6 | 3504 |
| $Q_{bu,ls,m}$ [kWh] | 297,6 | 268,8 | 297,6 | 288 | 297,6 | 0 | 0 | 0 | 288 | 297,6 | 288 | 297,6 | 2621 |

Tablica 5.8.1. Mjesečni nominalni toplinski gubici i reducirani mjesečni toplinski gubici pomoćnog generatora

Dobivene vrijednosti:

- $t_{bu,nom,m}$ [h] – mjesečno nominalno trajanje rada toplinskog generatora bez prisutnosti solarnog sustava
- $Q_{bu,ls,nom,m}$ [kWh] – mjesečni nominalni toplinski gubici ne solarnog toplinskog generatora

$$Q_{bu,ls,nom,m} = 400 \cdot t_{bu,nom,m} / 1000$$

- 400 („stand by“ gubici kotla [W])

- $Q_{bu,ls,m}$ [kWh] – reducirani mjesečni toplinski gubici pomoćnog generatora, ovise o udjelu $f_{sol,m}$:

$$f_{sol,m} < 80\% \rightarrow Q_{bu,ls,m} = Q_{bu,ls,nom,m}$$

$$f_{sol,m} \geq 80\% \rightarrow Q_{bu,ls,m} = Q_{bu,ls,nom,m} \cdot (1 - f_{sol,m})$$

Dobivenim podacima možemo izračunati ukupnu godišnju uštedu energije dobivenu redukcijom:

- $(80 - 63,95) + (3504 - 2621) = 899,05 \text{ kWh}$

5.9. Proračun godišnjih rezultata

| mjesec | $Q_{sol,us,m}$ [kWh] | $Q_{sol,out,m}$ [kWh] | $Q_{sol,ls,m}$ [kWh] | $Q_{sol,ls,rl,m}$ [kWh] |
|--------|-------------------------|--------------------------|-------------------------|----------------------------|
| 1. | 1940,99 | 80,93 | 9,49 | 5,29 |
| 2. | 1593,30 | 135,90 | 17,67 | 9,60 |
| 3. | 1363,48 | 248,03 | 41,28 | 21,93 |
| 4. | 868,78 | 278,14 | 75,20 | 39,09 |
| 5. | 459,95 | 232,76 | 126,81 | 65,15 |
| 6. | 210,74 | 234,52 | 120,08 | 0,0 |
| 7. | 217,77 | 247,78 | 121,26 | 0,0 |
| 8. | 217,77 | 238,44 | 113,14 | 0,0 |
| 9. | 436,10 | 215,83 | 106,40 | 54,78 |
| 10. | 925,68 | 222,13 | 50,76 | 26,56 |
| 11. | 1337,52 | 94,56 | 13,91 | 7,53 |
| 12. | 1791,95 | 50,18 | 6,08 | 3,44 |
| god. | 11364 | 2279,21 | 802,08 | 233,37 |

Tablica 5.9.1. Potrebna energija, dobivena energija iz solarnog sustava i gubici

| | |
|---|-------------|
| Godišnja potreba energije za PTV [kWh] | 2564 |
| Godišnja potreba energije za grijanje prostora [kWh] | 8800 |
| Ukupna godišnja potrebna energija [kWh] | 11364 |
| Godišnji dobitak solarnog sustava za PTV [kWh] | 1390 |
| Godišnji dobitak solarnog sustava za grijanje prostora [kWh] | 889 |
| Ukupna godišnja dobitak solarnog sustava | 2279 |
| Godišnja ušteda energije redukcijom rada pomoćne pumpe [kWh] | 16 |
| Godišnja ušteda gubitaka topline redukcijom rada generatora [kWh] | 883 |
| Ukupna godišnja ušteda energije redukcijom [kWh] | 899 |
| Ukupni godišnji energetski dobitak solarnog sustava [kWh] | 3178 |

Tablica 5.9.2. Godišnja potrebna energija i dobivena godišnja energija iz solarnog sustava

5.10. Financijski podaci o investiciji

| KOMPONENTE | CIJENA [kn] |
|--|----------------|
| Solarni kolektori | 8075 |
| Solarni bojler | 7150 |
| Akumulacijski spremnik | 4289,38 |
| Toplovodni kotač | 7390 |
| Solarne pumpne grupe, 3-putni preklopni ventil, ekspan. posuda | 2112,63 |
| Montažni set | 1398,11 |
| Cijevi | 829,58 |
| Montaža | 3500 |
| UKUPAN TROŠAK | 34744,7 |

Tablica 5.10. Financijski podaci o investiciji



Slika 5.10. Graf prikaza investicijskih troškova

5.11. Isplativost ugradnje solarnog sustava (povrat investicije)

| | STRUJA | PLIN |
|---|---------|---------|
| Cijena kWh-a [kn/kWh] | 0,51 | 0,2319 |
| Godišnja cijena potrebne energije [kn/god] | 5795,65 | 2635,32 |
| Godišnja ušteda sa solarnim sustavom [kn/god] | 1620,78 | 736,98 |
| Period povrata investicije [god] | 21 | 47 |

Tablica 5.11. Godišnji period povrata investicije

Ulagane vrijednosti:

- Cijena kWh-a struje iznosi 0,51 kn/kWh [23], a cijena kWh-a plina 0,2319 kn [24].

Dobivene vrijednosti:

- Godišnja cijena potrebne energije = ukupna godišnja potreba energije · cijena kWh-a struje/plina
- Godišnja ušteda sa solarnim sustavom = ukupni godišnji dobitak energije solarnim sustavom · cijena kWh-a struje/plina
- Period povrata investicije = ukupan trošak investicije / godišnja ušteda sa solarnim sustavom

5.12. Proračun isplativosti uz poticaje

Kompanija SOLE-i, predstavila je inovativnu uslugu za energetsku samoopskrbu, koja se bazira na mikro solarnim elektranama. Trošak za montiranje i kupnju potrebnog solarnog sustava za ovaj rad bi iznosio 24900 kn. Te kako bi sustav bio isplativ garantiraju približno 75% niže mjesecne račune za struju i povrat investicije za 5 do 6 godina. [25]

| | STRUJA |
|--|----------------|
| Cijena kWh-a [kn/kWh] | 0,51 |
| Godišnja cijena potrebne energije [kn/god] | 5795,65 |
| Godišnja ušteda sa solarnim sustavom [kn/god] | 4346,74 |
| Period povrata investicije [god] | 6 |

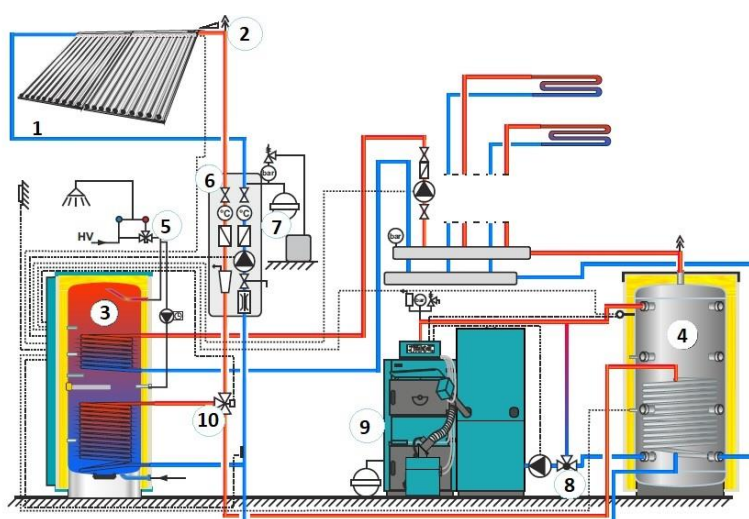
Tablica 5.12. Povrat investicije uz poticaj

Dobivene vrijednosti:

- Godišnja ušteda sa solarnim sustavom = godišnja cijena potrebne energije * 75%
(manji iznos računa za struju) / 100%
- Period povrata investicija = $24900 / 4346,74 = 6$ god

6. Shema i opis solarnog sustava

Solarni sustav za grijanje prostora i pripremu PTV sa kolektorima prvo zagrijava bojler sanitarne vode, a zatim se sav višak energije prebacuje u akumulacijske spremnike sustava grijanja. Čim se pojavi potreba za sanitarnom vodom, opet se svi kolektori prebacuju na zagrijavanje bojlera sanitarne vode. U slučaju da kolektori ne mogu predati dovoljno energije vodi u bojler ili akumulacijskom spremniku, regulacija uključuje pumpu u krugu konvencionalnog izvora topline (kotla) i zagrijava vodu do željene temperature. [3]



Slika 6. Shema sustava grijanja prostora i zagrijavanja PTV [3]

Komponente sheme (Slika 3.) solarnog sustava:

1. Solarni kolektori
2. Solarni od zračni lončić sa zapornim ventilom
3. Solarni bojler s regulacijom
4. Akumulacijski spremnik
5. Ventil za PTV
6. Solarna pumpna grupa
7. Ekspanzijska posuda solarnog kruga
8. 3-putni termički ventil
9. Kotao (EKO-CUP)
10. 3-putni preklopni ventil

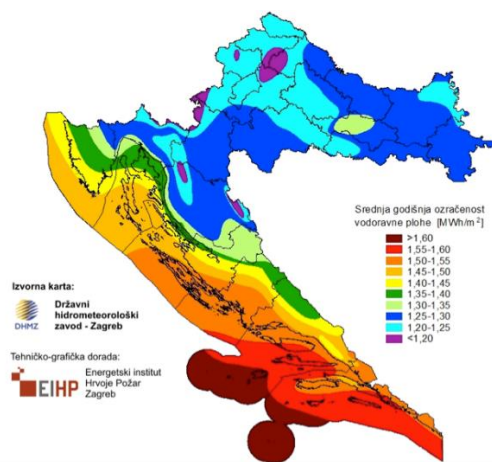
7. Opis i odabir komponenta solarnog sustava

Kako ne bih došlo da krivog tumačenja, solarni sustav podrazumijeva korištenje sunčeve energije u sustavima zagrijavanja PTV i grijanje prostora. Sastoji se od nekoliko komponenti:

- solarnih kolektora
- regulacije
- solarnog i/ili akumulacijskog bojlera
- solarna pumpna grupa
- ekspanzijske posude
- elemenata armature i izoliranih cijevi

Na našem području za cjelogodišnje potrebe PTV-a i grijanja prostora, solarna energija kao samostalni izvor topline nije dovoljna pa nam u sustavima zagrijavanja PTV-a i grijanja, uz solarni sustav, treba i neki konvencionalni izvor topline (kotao na ulje, plin, el. struju ili biomasu (drvo, pelete, sječku...)). Važno je znati da solarni sustavi sakupljaju i spremaju Sunčevu energiju samo kada Sunca ima, tj. ako je vani nekoliko dana oblačno, solarni sustav neće imati tople vode. Iz tog razloga u sustavu moramo imati veliku količinu vode (veliki bojler) koja može akumulirati Sunčevu energiju kada Sunca ima da bismo toplu vodu mogli trošiti u vrijeme kada Sunca nema (najčešće navečer i ujutro). Komponente solarnog sustava potrebno je pažljivo dimenzionirati da bi zagrijavanje PTV-e i grijanje prostora moglo kvalitetno raditi.

[3]



Srednja godišnja ozračenost na području Varaždinske županije iznosi 1,20-1,25 MWh/m².

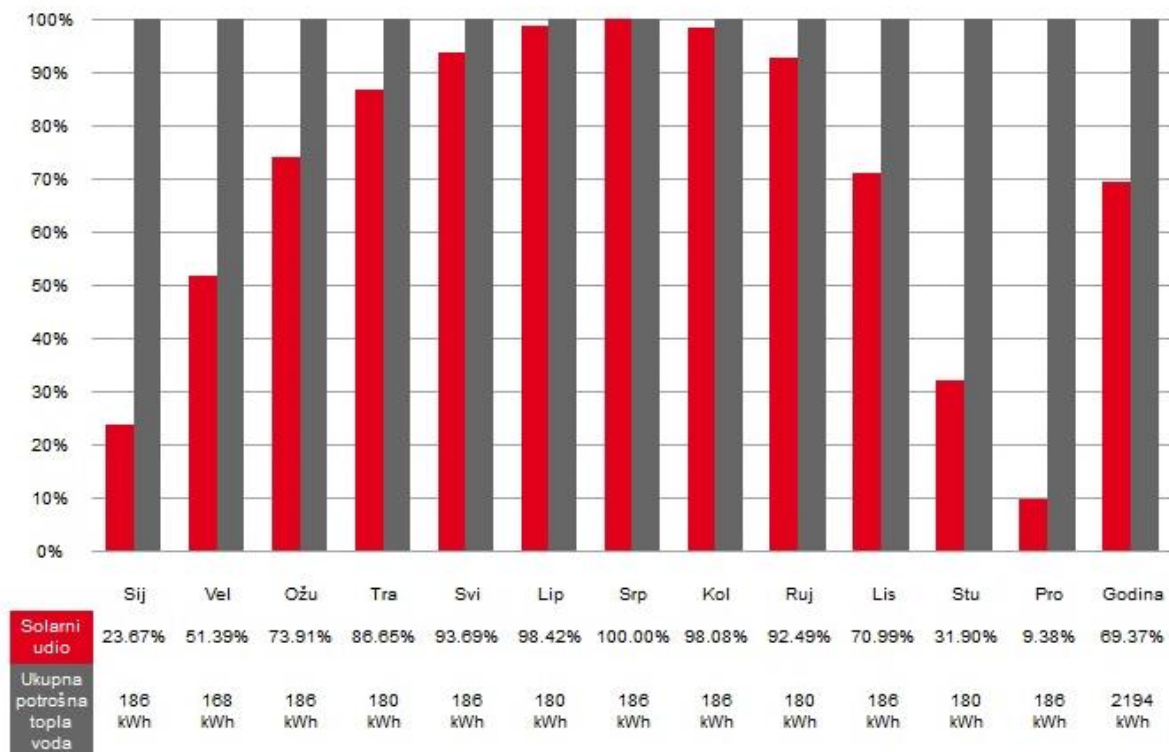
Slika 7. Srednja godišnja ozračenost vodoravne plohe [26]

7.1. Solarni kolektori

Kod odabira vrste i broja kolektora treba poznavat sljedeće parametre: klimatsko područje, zakrenutosti kolektora prema jugu i od horizontale, upotreba kolektora (samo za PTV ili/i za grijanje prostora), volumen bojlera/akumulacijskog spremnika, godišnje doba upotrebe kolektora. Trenutno postoje dvije glavne vrste solarnih kolektora;

- pločasti solarni kolektori
- cijevni vakuumski solarni kolektori

Uzveši u obzir da se proračun radi za kuću na području grada Varaždina, odabiru se cijevni vakuumski solarni kolektori. Tijekom zimskog perioda daju više energije od pločastih.

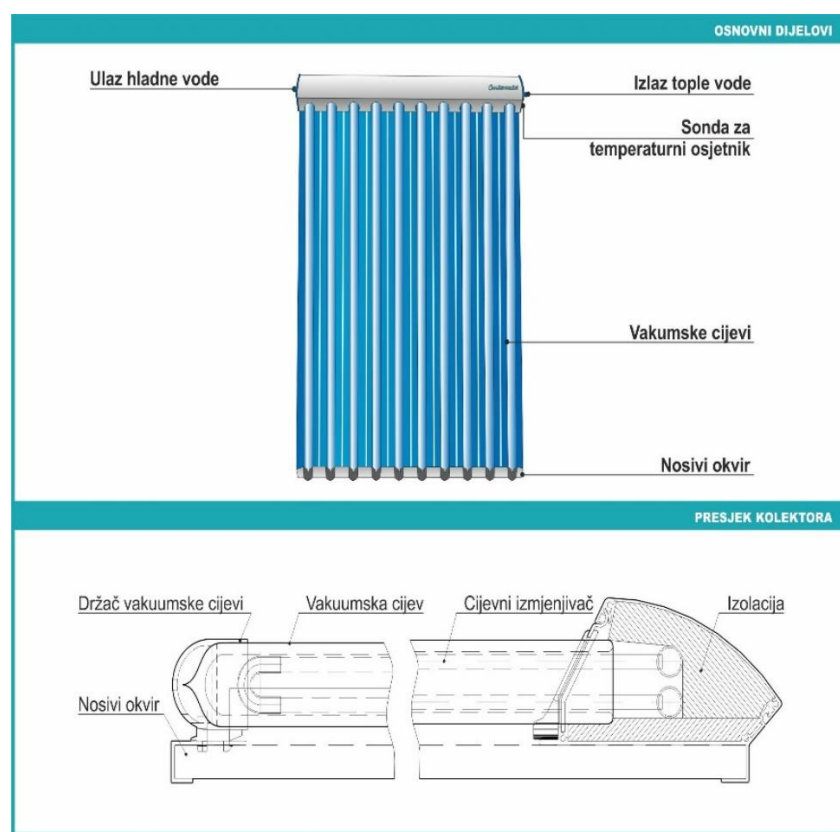


Slika 7.1. Grafički prikaz uz pomoć Hoval kalkulatora

Kako ne bih došlo do pogreške prilikom odabira broja kolektora, koristili smo Hoval kalkulator. Pokazuje solarni udio određenog solarnog kolektora za potrebe PTV-e.

7.1.1. Cijevni vakuumski solarni kolektor CVSCK-10

Solarno tržište zahtijeva tehnologiju s visokom učinkovitošću i kod manje povoljnih uvjeta te je zbog toga konstruiran cijevni vakuumski kolektor. Cijevni vakuumski kolektori serije CVSCK-10 pokazuju svoju snagu najviše tamo gdje pločasti kolektori gube svoju učinkovitost - kod smanjenog zračenja odnosno kod velikih temperaturnih razlika. Cijevi kolektora vakumirane su čime se sprečava gubitak energije, a ispod cijevi su postavljena reflektirajuća parabolična ogledala koja usmjeravaju zračenje na cijelu površinu čime se povećava učinkovitost kolektora. [3]



Slika 7.1.1. Cijevni vakuumski solarni kolektor CVSCK-10 [4]

| cijevni kolektor CVSKC-10 | | |
|----------------------------|------------------------------------|---------------------|
| Broj cijevi | (kom) | 10 |
| Bruto površina | (m ²) | 1,84 |
| Površina upada svjetlosti | (m ²) | 1,6 |
| Površina apsorbera | (m ²) | 1,6 |
| Volumen apsorbera | (l) | 1,63 |
| Visina kolektora | (mm) | 1645 |
| Širina kolektora | (mm) | 1115 |
| Debljina kolektora | (mm) | 107 |
| Masa kolektora | (kg) | 31 |
| Materijal vakumske cijevi | borosilikatno staklo | |
| Apsorpcijski koef. | (%) | 96 ± 1 |
| Emisijski koef. | (%) | 6 ± 1 |
| Optički stupanj djelovanja | (%) | 60,5 |
| Koef. gubitaka topoline k1 | W/(m ² K) | 0,850 |
| Koef. gubitaka topoline k2 | W/(m ² K ²) | 0,010 |
| Izolacija apsorbera | vakuum | |
| Izolacija sakupljača | (mm) | 75mm mineralne vune |
| Bakrene cijevi | (mm) | φ8 x 0,5 |
| Sakupljačke cijevi | (mm) | φ18 x 1 |
| Broj priključaka | (kom) | 2 |
| Priklučci | (R) | 3/4" |
| Max. radni pretlak | (bar) | 10 |
| Temperatura mirovanja | (°C) | 286 |
| Refleksija ogledala | (%) | 95 |
| Medij u sustavu | mješavina glikola i vode | |

Tablica 7.1.1. Karakteristike cijevnog vakuumskog kolektora CVSKC-10 [3]

Prednosti cijevnog vakuumskog kolektora CVSKC-10:

- visoka učinkovitost kolektor sa 10 cijevi
- maksimalna temperatura mirovanja kolektora je 286 °C
- Ispod svake vakumske cijevi nalazi se reflektirajuće parabolično ogledalo koje omogućuje korištenje cijele cijevne apsorbirajuće površine
- olakšana montaža, zbog već ugrađenog okvira na samom kolektoru
- mogućnost montaže na kosi krov ili na samostojeći stalak

7.1.2. Potreban broj kolektora

Za odabir odgovarajućeg broja kolektora potrebno je imati neke informacije, kao što su: broj osoba, veličini i vrsti bojlera, te mjestu ugradnje kolektora. Navedeno je da će projekt biti rađen za tročlanu obitelj, što uvjetuj odabirom bojlera od 200 litara. Kao zaključak odabiru se dva cijevna vakuumski kolektora serije CVSKC-10, cijene 4037,50 kn po komadu [4].

7.2. Solarni inox bojler STEB-200

Potreba za maksimalnim 200 l bojlerom, odabiremo solarni inox bojler STEB-200. Toplovodni solarni bojler STEB volumena 200 litara, namijenjen je zagrijavanju i akumuliraju potrošne tople vode korištenjem energije Sunca, zagrijavanjem vodom iz kotla te alternativno zagrijavanje električnim grijačem. Bojleri su izrađeni od nehrđajućeg čelika, čime su zagarantirani visoki higijenski uvjeti. Korištenjem modernih tehnologija i provjerениh tehničkih rješenja omogućeno je ekonomično korištenje raspoloživih izvora energije. Posebna vrijednost ovih bojlera je integrirana automatska regulacija, koja upravlja i povezuje sve navedene mogućnosti u automatizirani proces. Izrađeni su u skladu s normom ISO 9001:2008 [3]. Cijena bojlera iznosi 7150kn, što se u odnosu na ostale bojlere čini kao poprilično visoka cijena. Razlog je što bojler sadrži integriranu solarnu regulaciju, kojom se postižu znatne prednosti u usporedbi sa ostalim bojlerima.



Slika 7.2. Solarni inox bojler STEB-200 [6]

7.2.1. Osnovni dijelovi i tehnički podaci bojlera



Slika 7.2.1. Osnovni dijelovi bojlera STEB-200,300,600 [7]

| | | STEB 200 | STEB 300 | STEB 600 |
|---------------------------------|---------------------|--------------|--------------|--------------|
| Volumen | (l) | 200 | 300 | 600 |
| Ogrjevna spirala | | gornja | donja | gornja |
| Trajni učin ⁽¹⁾ 80°C | (kW) | 16,6 | 33,1 | 31,6 |
| | (l/h) | 408 | 814 | 778 |
| 70°C | (kW) | 13,3 | 26,7 | 25,5 |
| | (l/h) | 330 | 658 | 629 |
| 60°C | (kW) | 8,3 | 16,5 | 15,8 |
| | (l/h) | 204 | 406 | 389 |
| Ogrjevna površina | (m ²) | 0,42 | 0,84 | 0,8 |
| Volumen ogrjevne vode | (l) | 1,9 | 3,8 | 4,4 |
| Protok kotlovske vode | (m ³ /h) | 1,5 | 1,5 | 1,5 |
| Dimenzije bojlera | (mm) | 710x580x1400 | 760x640x1890 | 925x820x2005 |
| Pol./pov. vod - kotl. krug | (R) | 3/4" | 1" | 1" |
| Pol./pov. vod - sol. krug | (R) | 3/4" | 1" | 1" |
| Max. radni tlak | (bar) | 6 | 6 | 6 |
| Električni grijач | (W) | 1 x 2000 | 1 x 3000 | 2 x 2000 |
| Masa bojlera | (kg) | 80 | 120 | 230 |

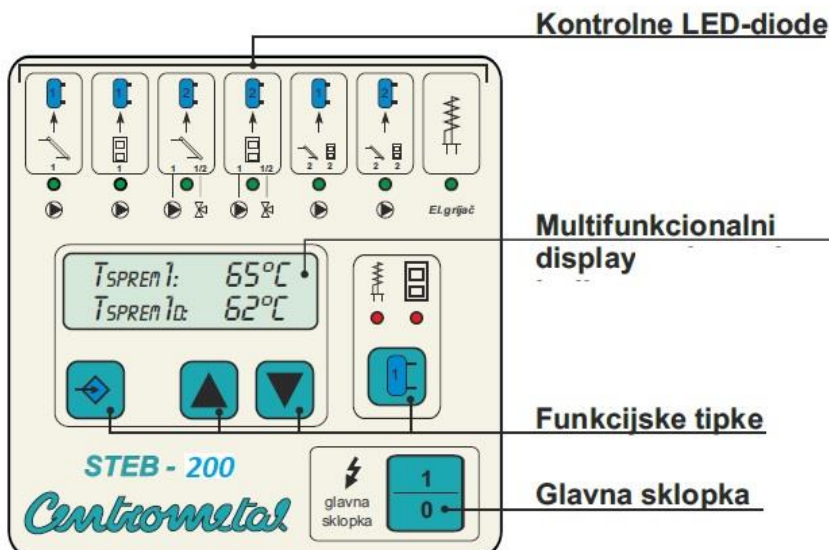
(1) ulazna temp. ogrevnog medija 80, 70, 60°C; PTV 10/45°C

Tablica 7.2.1. Tehnički podaci bojlera [3]

Kao što je vidljivo iz tablice tehničkih podataka, STEB-200 zadovoljava uvjete. Te nije potrebno daljnje proučavanje ostale dvije vrste bojlera (STEB-300, STEB -600), koji su namijenjeni za srednje i veće objekte. Kod kojih je potrošnja vode veća.

7.2.2. Solarna regulacija spremnika STEB

Solarni regulator je namijenjen upravljanju akumulacijom energije iz solarnih kolektora i/ili kotlova na kruto gorivo kao i pripremi potrošne tople vode (PTV) uz zagrijavanje elektro grijачem i/ili bilo kojom vrstom kotlova. U regulator su uključene funkcije zaštite elemenata spremnika, kolektora i kotlova, a nazivi parametara i omogućuje namještanja parametara samo onih koji su potrebni za odabranu konfiguraciju olakšavaju namještanje postavki regulatora. Regulator također podešava svoj rad prema prisutnim senzorima. To znači da će uz sve potrebne senzore za postavljenu konfiguraciju funkcija cijele konfiguracije biti u potpunosti zadovoljena. Ako dođe do prekida nekog od senzora regulator će nastaviti sa radom, ali sa funkcijama koje mu omogućuju preostali senzori. [8]



Slika 7.2.2. Ploča solarne regulacije STEB [3]

Prednosti integrirane solarne regulacije STEB:

- regulacija temperature PTV-e
- regulacija kotlovskega kruga, kolektorskog kruga, dodatnog akumulacijskog bojlera, električnog grijacha
- regulacija ima ugrađen svjetlosni osjetni LDR
- zaštita cirkulacijskih pumpi od previsoke temperature
- mogućnost očitanja karakterističnih temperatura na osvijetljenom displayu
- prikaz dobivene energije Sunca u kWh

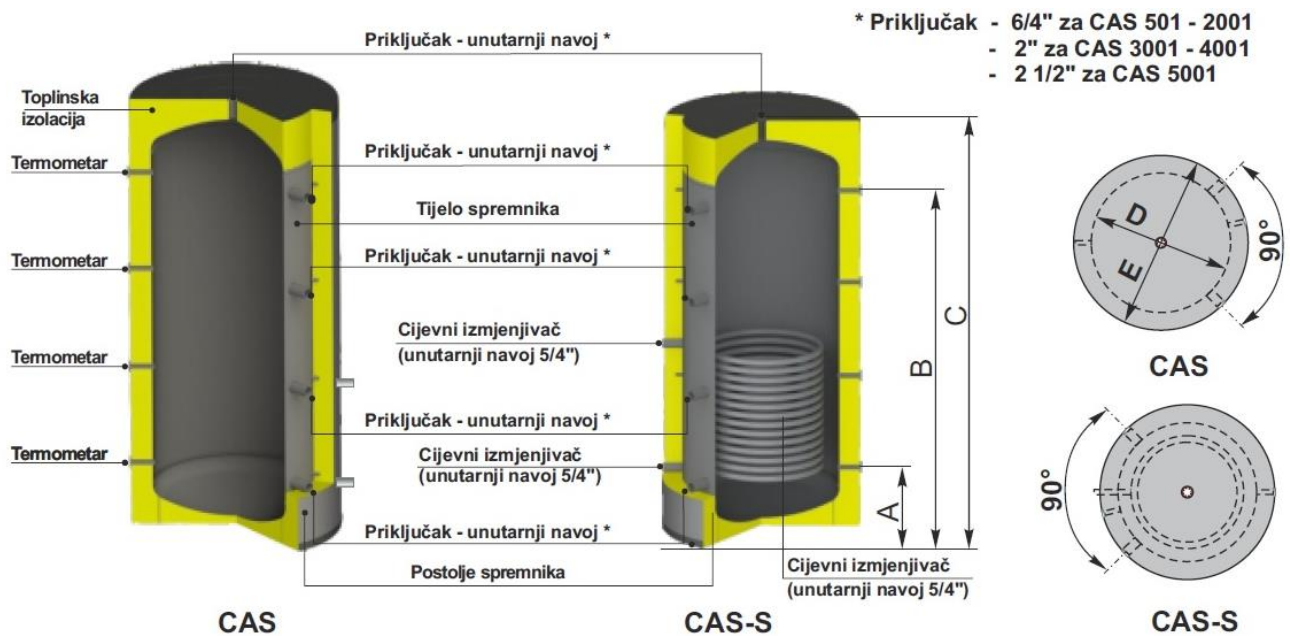
7.3. Akumulacijski spremnik CAS-S 501

Akumulacijski spremnici **CAS-S** namijenjeni su za sustave centralnog grijanja uz kotlove na kruto gorivo (Bio-Tec, BioSolid, EKO-CK P, EKO-CKB P, CentroPlus, CentroPlus-B...), pelet, lož ulje, plin ili struju radi akumuliranja toplinske energije i ekonomičnijeg i efikasnijeg rada kotla te spajajući na solarne kolektore. Izrađuju se u 3 veličine (volumena 475, 740 i 940 litara) i 2 izvedbe: akumulacijski spremnik sa ugrađenim cijevnim izmjenjivačem za spajanje solarnih kolektora (CAS-S) i akumulacijski spremnik sa ugrađenim inox bojlerom i cijevnim izmjenjivačem (CAS-BS). Ovakve izvedbe omogućuju istodobno korištenje više obnovljivih izvora energije što ih čini ekološki i energetski vrlo prihvatljivim. Uz ugradene spremnike CAS loženje je moguće planirati u prihvatljivo vrijeme, a za slučaj blažih vanjskih temperatura grijanje prostora i zagrijavanje potrošne tople vode bez loženja kotla moguće je i više dana. Spremnici su izrađeni iz atestiranih materijala u skladu s normom ISO 9001:2008 [3]. Cijena spremnika proizvođača Centrometal iznosi 4289,38 kn.



Slika 7.3. Akumulacijski spremnik CAS-S [9]

7.3.1. Osnovni dijelovi i tehnički podaci spremnika



Slika 7.3.1. Presjek i prikaz dijelova spremnika CAS i CAS-S [10]

| Tip | CAS | | | | | | | | CAS-S | | |
|--------------------------------|------|------|------|------|------|------|------|--------|-------|------|------|
| | 501 | 801 | 1001 | 1501 | 2001 | 3001 | 4001 | 5001 | 501 | 801 | 1001 |
| Volumen (lit.) | 475 | 740 | 940 | 1450 | 2160 | 2960 | 3820 | 5055 | 475 | 740 | 940 |
| Promjer tijela sprem. D (mm) | 650 | 790 | 790 | 1000 | 1200 | 1250 | 1400 | 1600 | 650 | 790 | 790 |
| Vanjski promjer E (mm) | 850 | 990 | 990 | 1200 | 1400 | 1450 | 1600 | 1800 | 850 | 990 | 990 |
| Ukupna visina C (mm) | 1670 | 1750 | 2150 | 2100 | 2180 | 2695 | 2790 | 2875 | 1670 | 1750 | 2150 |
| Priključci (R) | 6/4" | 6/4" | 6/4" | 6/4" | 6/4" | 2" | 2" | 2 1/2" | 6/4" | 6/4" | 6/4" |
| Max. radni tlak (bar) | 3 | 3 | 3 | 3 | 3 | 3 | 3 | 3 | 3 | 3 | 3 |
| Max. radna temp. (°C) | 100 | 100 | 100 | 100 | 100 | 100 | 100 | 100 | 100 | 100 | 100 |
| Min. visina prostorije (mm) | 1870 | 1950 | 2350 | 2300 | 2335 | 2915 | 3015 | 3005 | 1870 | 1950 | 2350 |
| Masa tijela spremnika (kg) | 75 | 99 | 149 | 185 | 245 | | | | 100 | 135 | 185 |
| Ukupna masa spremnika (kg) | 84 | 112 | 164 | 204 | 265 | | | | 109 | 150 | 201 |
| Volumen sprem. PTV (lit.) | - | - | - | - | - | - | - | - | - | - | - |
| Max. radni tlak spr. PTV (bar) | - | - | - | - | - | - | - | - | - | - | - |
| Priključci PTV (R) | - | - | - | - | - | - | - | - | - | - | - |
| Ogrj. površina spirale (m²) | - | - | - | - | - | - | - | - | 1,9 | 2,6 | 3,2 |
| Volumen ogrj. spirale (lit.) | - | - | - | - | - | - | - | - | 10,5 | 14 | 17,5 |
| Toplinska izolacija (mm) | 100 | 100 | 100 | 100 | 100 | 100 | 100 | 100 | 100 | 100 | 100 |
| Visina A (mm) | 230 | 320 | 320 | 320 | 355 | 370 | 420 | 515 | 230 | 320 | 320 |
| Visina B (mm) | 1380 | 1370 | 1770 | 1720 | 1755 | 2260 | 2310 | 2365 | 1380 | 1370 | 1770 |

Tablica 7.3.1. Tehnički podaci spremnika [10]

Dimenzijama i karakteristikama akumulacijski spremnik CAS-S 501 zadovoljava uvjete, te se odabire za izradu proračuna isplativosti ugradnje solarnog sustava.

7.4. Kotao EKO-CUP M3

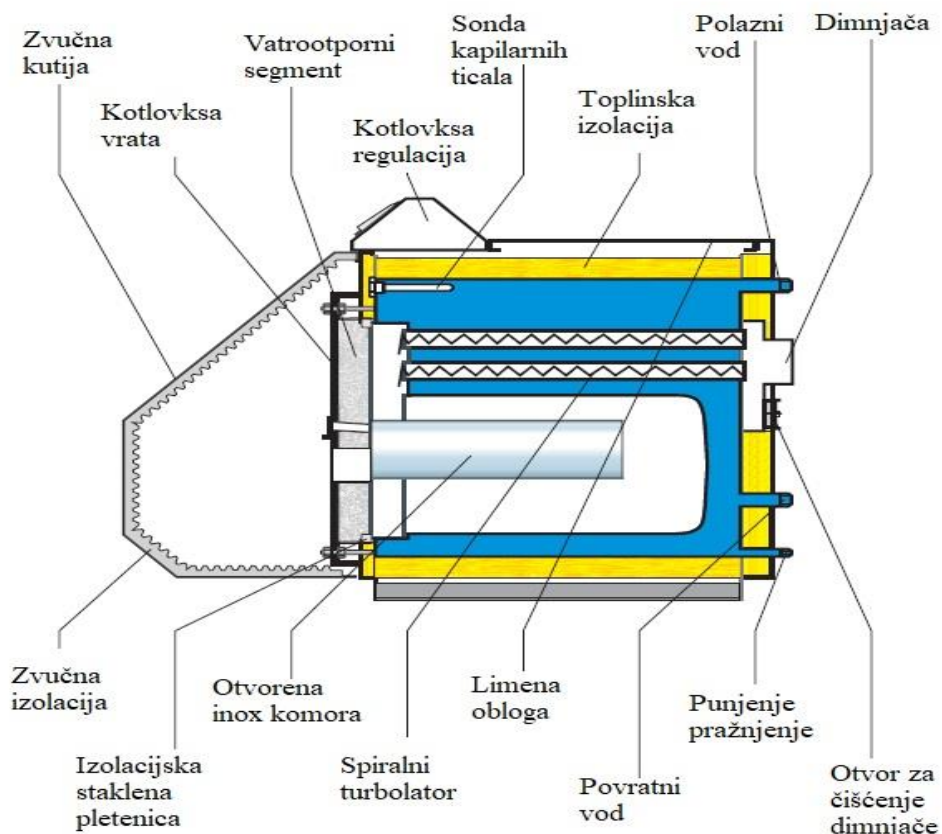
Toplovodni kotao namijenjen je za loženje, tekućim gorivima tipa EL ulje za loženje i plinovitim gorivom. Kotao je suvremene konstrukcije i dizajna i malih dimenzija, obzirom na projektirani kapacitet. Izrađen je iz atestiranih materijala visoke kvalitete. Ispitan i atestiran po DIN i HRN normama, te ispunjava sve uvjete specijalnih kotlova za priključenje na instalaciju centralnog grijanja. [11]



Slika 7.4. Kotao EKO-CUP M3 [11]

7.4.1. Sastavni dijelovi i tehnički podaci kotla

EKO-CUP M3 je tro prolazni čelični toplovodni kotao, sastavljen od inox otvorene komore za izgaranje, centralne komore i cijevne komore. Tro prolazni sistem dimnih plinova sa provjerenom turbulencijskom tehnikom, te inox komora za izgaranje, omogućavaju potpuno izgaranje i smanjenje štetnih sastojaka dimnih plinova. Spiralni prijenosnik topline u cijevnoj komori, omogućavaju duže zadržavanje dimnih plinova i bolji prijenos toplinske energije na vodu, a isto tako služe za finu regulaciju izlazne temperature dimnih plinova, čija minimalna temperatura iznosi 160 °C, kod temperature kotla 70 °C. Time se sprječava kondenzacija i produljuje vijek trajanja kotla. [11]



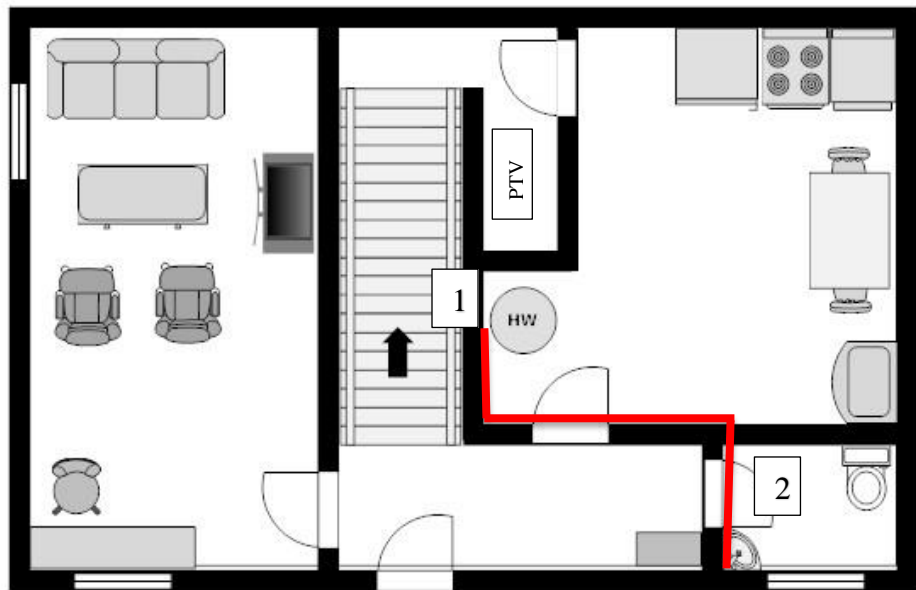
Slika 7.4.1. Sastavni dijelovi kotla EKO-CUP M3 [11]

| TIP | EKO-CUP M3 - 18 | EKO-CUP M3 - 25 | EKO-CUP M3 - 35 | EKO-CUP M3 - 50 | EKO-CUP M3 - 65 | EKO-CUP M3 - 80 |
|------------------------------|--------------------|--------------------|--------------------|--------------------|--------------------|--------------------|
| Toplinska snaga | kW | 18 | 25 | 35 | 50 | 65 |
| Toplinsko opterećenje | kW | 19,2 | 26,5 | 37 | 53 | 69 |
| Podtlak dimnjaka min. | mbar | 0,08 | 0,10 | 0,12 | 0,14 | 0,16 |
| Temp. dimnih plinova min/max | °C | 160-210 | 160-210 | 160-210 | 160-210 | 160-210 |
| Radni prettlak min./max | bar | 0,8-2,4 | 0,8-2,4 | 0,8-2,4 | 0,8-2,4 | 0,8-2,4 |
| Temp. kotla min/max | °C | 55-90 | 55-90 | 55-90 | 55-90 | 55-90 |
| Reg. termostat | °C | 0-90 | 0-90 | 0-90 | 0-90 | 0-90 |
| Sig. termo stat | °C | 100(110) | 100(110) | 100(110) | 100(110) | 100(110) |
| Elektro priključak | V/Hz | 230/50 | 230/50 | 230/50 | 230/50 | 230/50 |
| Iiskorištenje kotla min/max | % | 92,1-93,8 | 92,1-93,8 | 92,1-93,8 | 92,1-93,8 | 92,1-93,8 |

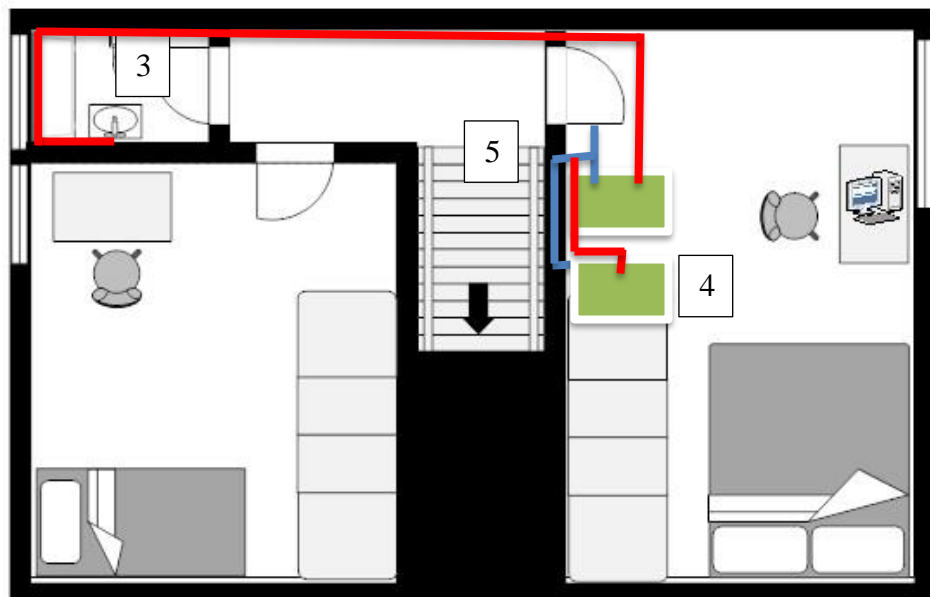
Tablica 7.4.1. Tehničke karakteristike kotlova EKO-CUP M3 [11]

Kako bi kotao bio sa sigurnošću kompatibilan sa ostalim dijelovima solarnog sustava, odabiremo kotao EKO-CUP M3 (80 kW) proizvođača Centrometal. Cijena odabranog kotla iznosi 7390 kn.

7.5. Proračun pada tlaka



Slika 7.5.1. Shematski prikaz dionice cjevovoda u kući-prizemlje



Slika 7.5.2. Shematski prikaz dionice cjevovoda u kući-prvi kat

Proračun:

$$\Delta p_{1-2} = \lambda_1 \cdot \frac{l_1}{d_{u1}} \cdot \frac{\rho \cdot w_1^2}{2} = 0,005316 \cdot \frac{7}{0,022} \cdot \frac{998 \cdot 0,55^2}{2} = 255,32 \text{ Pa}$$

$$\Delta p_{2-3} = \lambda_2 \cdot \frac{l_2}{d_{u2}} \cdot \frac{\rho \cdot w_2^2}{2} = 0,006645 \cdot \frac{2,5}{0,022} \cdot \frac{998 \cdot 0,44^2}{2} = 72,95 \text{ Pa}$$

$$\Delta p_{3-4} = \lambda_3 \cdot \frac{l_3}{d_{u3}} \cdot \frac{\rho \cdot w_3^2}{2} = 0,006961 \cdot \frac{10,5}{0,022} \cdot \frac{998 \cdot 0,42^2}{2} = 292,44 \text{ Pa}$$

$$\Delta p_{4-5} = \lambda_4 \cdot \frac{l_4}{d_{u4}} \cdot \frac{\rho \cdot w_4^2}{2} = 0,010442 \cdot \frac{6}{0,022} \cdot \frac{998 \cdot 0,28^2}{2} = 111,42 \text{ Pa}$$

$$\lambda_1 = \frac{64}{\text{Re}_1} = \frac{64}{12039,68} = 0,005316$$

$$\lambda_2 = \frac{64}{\text{Re}_2} = \frac{64}{9631,74} = 0,006645$$

$$\lambda_3 = \frac{64}{\text{Re}_3} = \frac{64}{9193,94} = 0,006961$$

$$\lambda_4 = \frac{64}{\text{Re}_4} = \frac{64}{6129,29} = 0,010442$$

$$\text{Re}_1 = \frac{w_1 \cdot d_{u1} \cdot \rho}{\eta} = \frac{0,55 \cdot 0,022 \cdot 998}{1,003 \cdot 10^{-3}} = 12039,68$$

$$\text{Re}_2 = \frac{w_2 \cdot d_{u2} \cdot \rho}{\eta} = \frac{0,44 \cdot 0,022 \cdot 998}{1,003 \cdot 10^{-3}} = 9631,74$$

$$\text{Re}_3 = \frac{w_3 \cdot d_{u3} \cdot \rho}{\eta} = \frac{0,42 \cdot 0,022 \cdot 998}{1,003 \cdot 10^{-3}} = 9193,94$$

$$\text{Re}_4 = \frac{w_4 \cdot d_{u4} \cdot \rho}{\eta} = \frac{0,28 \cdot 0,022 \cdot 998}{1,003 \cdot 10^{-3}} = 6129,29$$

$$\Delta p_{UK} = \Delta p_{1-2} + \Delta p_{2-3} + \Delta p_{3-4} + \Delta p_{4-5} = 255,32 + 72,95 + 292,44 + 111,42 = 732,13 \text{ Pa}$$

w – brzina strujanja medija, [m/s]

d_u – unutarnji promjer cijev, [m]

ν – kinetička viskoznost, [m^2/s]

η – dinamička viskoznost, [Pa·s] = [kg/(m·s)]

ρ – gustoća vode, [998 kg/m³]

| | Unutarnji promjer cijevi | Brzina strujanja | Duljina dionice |
|--------------|--------------------------|------------------|-----------------|
| Broj dionice | d_u [mm] | w [m/s] | l [m] |
| 1-2 | 22 | 0,55 | 7 |
| 2-3 | 22 | 0,44 | 2,5 |
| 3-4 | 22 | 0,42 | 10,5 |
| 4-5 | 22 | 0,28 | 6 |

Tablica 7.5.1. Ulagani podaci

| Temperatura [°C] | Viskoznost [Pa·s] |
|---------------------|------------------------|
| 10 | $1,308 \times 10^{-3}$ |
| 20 | $1,003 \times 10^{-3}$ |
| 30 | $7,978 \times 10^{-4}$ |
| 40 | $6,531 \times 10^{-4}$ |
| 50 | $5,471 \times 10^{-4}$ |
| 60 | $4,668 \times 10^{-4}$ |
| 70 | $4,044 \times 10^{-4}$ |
| 80 | $3,550 \times 10^{-4}$ |
| 90 | $3,150 \times 10^{-4}$ |
| 100 | $2,822 \times 10^{-4}$ |

Tablica 7.5.2. Viskoznost vode pri određenoj temperaturi

| Tekućina | w(m/s) | Tekućina | w(m/s) |
|-------------------|----------|------------------------------|-----------|
| Vodena para | 15 do 60 | Vodovod | 0,5 do 2 |
| Uzduh u kanalima | 4 do 8 | Toplovodno grijanje 90/70 °C | 0,15 do 1 |
| Uzduh u cijevima | 10 do 30 | Vrelovod do 150/70 °C | 1,5 do 5 |
| Gradski plin | 1 do 25 | Kondenzat vodenе pare | 1 do 3 |
| Zemni plin | 5 do 35 | Kondenzat iz turbina | 2 do 7 |
| Naftovod | 1 do 3 | | |
| Lož ulje | 0,5 do 1 | | |
| Hidraulika (ulja) | 0,5 do 5 | | |

Tablica 7.5.3. Preporučene brzine strujanja u cijevima

7.6. Solarne pumpne grupe CSPG-260

Kako bi cijeli sustav funkcionirao i bio povezan, bitnu ulogu imaju i solarne pumpne grupe CSPG. U solarnoj pumpnoj grupi CSPG-260 nalaze se svi potrebni elementi (spremnik, automatiku, solarni od zračni lončić i ekspanzijsku posudu) koji trebaju za normalno funkcioniranje solarnog sustava. Ako imamo dodatni akumulacijski spremnik, uz solarnu pumpnu grupu CSPG-260 trebamo ugraditi 3-putni preklopni ventil (zonski) koji služi za proširenje solarnog sustava. Uz to što imamo sve potrebne funkcionalne i sigurnosne elemente na jednom mjestu, solarne pumpne grupe su termički i zvučno izolirane te zahtijevaju malo mjesta i jednostavno se ugrađuju. [3]



Slika 7.6.. Solarna pumpna grupa CSPG-260 i 3-putni preklopni ventil [3]

Uloga 3-putnog preklopnog ventila je da propušta fluid ili u jednom ili u drugom smjeru, te u slučaju nestanka struje vraća se u prvobitni položaj.

Odabrana solarna pumpna grupa CSPG-260 proizvođača Centrometal i 3-putni preklopni ventil u kompletu iznose 1940 kn.

7.6.1. Elementi i karakteristike solarne pumpne grupe CSPG-260



Slika 7.6.1. Elementi solarne pumpne grupe CSPG-260 [12]

CSPG - 260

| | | |
|---------------------|-------|--------------------------|
| Pumpa | (tip) | Grundfos Solar 15-65 |
| Max. radni tlak | (bar) | 6 |
| Radna temp. polaza | (°C) | 160 |
| Radna temp. povrata | (°C) | 130 |
| Medij | | voda sa max. 50% glikola |
| Priklučci | (mm) | fi 22 |
| Širina | (mm) | 340 |
| Visina | (mm) | 450 |
| Dubina | (mm) | 180 |

Tablica 7.6.1. Karakteristike solarne pumpne grupe CSPG-260 [12]

7.7. Dimenzioniranje i odabir ekspanzijske posude

Za točan proračun ekspanzijske posude prvo se moraju odrediti volumeni vode u dijelovima instalacija, kako bi se nakon toga mogla izračunati veličina ekspanzijske posude. Izračun volumnih sadržaja prikazan je u nastavku.

$$p_0 = \frac{h_{sus} \cdot h_{dod}}{10} = 1 \text{ [bar]}$$

p_o - početni tlak

h_{sus} - visina grijanja

h_{dod} - dodatna visina

$$V_{SUS} = 200 \text{ l}$$

V_{SUS} - volumen vode sustava

$$V_e = \frac{V_{SUS} \cdot n}{100} = \frac{200 \cdot 3,33}{100} = 6,66$$
$$V_v = V_{SUS} \cdot 0,005 = 200 \cdot 0,005 = 1 \text{ [l]}$$

V_e - ekspanzija vode

n - koeficijent rastezljivosti vode = 3,33

V_v - volumen zalihe vode u litrama

$$V_{\min} = (V_e + V_v) \cdot \frac{p_e + 1}{p_e - p_0} = (6,66 + 1) \cdot \frac{3 + 1}{3 - 1} = 15,32 \text{ [l]}$$

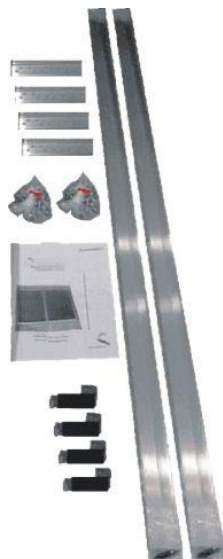
Nakon proračuna minimalnog volumena ekspanzijske posude odabrali smo ekspanzijsku posudu 24 L proizvođača imera. Cijena iznosi 172,63 kn.



Slika 7.7. Ekspanzijska posuda imera 24L

7.8. Montažni set za 2 solarna kolektora (ravni krov)

Kako bi se kolektori montirali pod željenim kutom, potreban je montažni set za ravni krov. U dalnjem radu biti će opisan proračun za određivanje nagiba solarnih kolektora, da bi se dobila maksimalna iskoristivost kolektora. Cijena ovakvog seta iznosi 1398,11 kn [14].



Slika 7.8. Montažni set za 2 solarna kolektora [14]

8. Zaključak

U radu je bio cilj opisati rad solarnog sustava za zagrijavanje PTV-e i grijanje prostora, te proračun isplativosti ugradnje takvog sustava .

Današnjom tehnologijom nezamislivo je da se proračun za dobivanje svih podataka radi ručno, te je za izradu ovog proračuna bio korišten program Microsoft Office Excel koji je odlično poslužio kao primjer uštete vremena i smanjenja proračunskih pogrešaka.

Dobivenim rezultatima iz proračuna, može se zaključiti da se ugradnja solarnog sustava za ovaj tip gradnje (nisko energetske građevine), trenutno ne isplati. Cijena plina značajno ne raste, te su dobivene vrijednosti za uštedu poprilično male. Što dokazuje i period povrata investicije, koji premašuje prosječni životni vijek solarnog sustava. Kako tehnologija napreduje i kako se globalno svijet sve više okreće obnovljivim izvorima energije, cijene solarnih sustava će zasigurno padati, što i pokazuje proračun isplativosti ugradnje solarnih sustava uz poticaje. Ali do tada za nisko energetske građevine, koje nemaju veliku potrošnju energije, ovaj sustav je još uvijek neisplativ na području grada Varaždina.

U Varaždinu, _____

Sveučilište Sjever



SVEUČILIŠTE
SJEVER

IZJAVA O AUTORSTVU I SUGLASNOST ZA JAVNU OBJAVU

Završni/diplomski rad isključivo je autorsko djelo studenta koji je isti izradio te student odgovara za istinitost, izvornost i ispravnost teksta rada. U radu se ne smiju koristiti dijelovi tuđih radova (knjiga, članaka, doktorskih disertacija, magistarskih radova, izvora s interneta, i drugih izvora) bez navođenja izvora i autora navedenih radova. Svi dijelovi tuđih radova moraju biti pravilno navedeni i citirani. Dijelovi tuđih radova koji nisu pravilno citirani, smatraju se plagijatom, odnosno nezakonitim prisvajanjem tuđeg znanstvenog ili stručnoga rada. Sukladno navedenom studenti su dužni potpisati izjavu o autorstvu rada.

Ja, Luka Obelić (ime i prezime) pod punom moralnom, materijalnom i kaznenom odgovornošću, izjavljujem da sam isključivi autor završnog rada pod naslovom

Rezultat isplativosti ogledne sobne sustav (upisati naslov) te da u navedenom radu nisu na nedozvoljeni način (bez pravilnog citiranja) korišteni dijelovi tuđih radova.

Student/ica:
(Luka Obelić)


(vlastoručni potpis)

Sukladno Zakonu o znanstvenoj djelatnosti i visokom obrazovanju završne/diplomske radove sveučilišta su dužna trajno objaviti na javnoj internetskoj bazi sveučilišne knjižnice u sastavu sveučilišta te kopirati u javnu internetsku bazu završnih/diplomskih radova Nacionalne i sveučilišne knjižnice. Završni radovi istovrsnih umjetničkih studija koji se realiziraju kroz umjetnička ostvarenja objavljaju se na odgovarajući način.

Ja, Luka Obelić (ime i prezime) neopozivo izjavljujem da sam suglasan s javnom objavom završnog rada pod naslovom Rezultat isplativosti ogledne sobne sustav (upisati naslov) čiji sam autor.

Student/ica:
(Luka Obelić)


(vlastoručni potpis)

9. Literatura

- [1] NATIONAL GEOGRAPHIC/SRPANJ2004./BR.7.
- [2] https://hr.wikipedia.org/wiki/Sunčeva_energija
- [3] <https://www.centrometal.hr/public/downloads/katalozi/solarni-sustavi.pdf>
- [4] <https://glavas.hr/proizvod/cvskc-10-cijevni-vakuums>
- [5] <https://tehno-dom.hr/proizvod/centrometal-solarni-bojler-steb-200/>
- [6] <https://termometal.hr/toplovodni-inox-bojler-steb-2001-proizvod-1917/>
- [7] <https://termometal.hr/upload/catalog/groups/339/STEB-Teh-upute-07-2007.pdf>
- [8] <https://termometal.hr/upload/catalog/groups/339/Teh-upute-regulacija-STEB-01-2008-ver1-4.pdf>
- [9] <https://www.ikoma.hr/hr/grijanje-na-drva/akumulacijski-spremnici-puferi-za-centralno-grijanje/akumulacijski-spremnik-500-l-centrometal-cas-s-501-solarni-360/>
- [10] <https://www.ikoma.hr/Content/product/document/Centrometal-CAS-akumulacijski-spremnici-prospekt.pdf>
- [11] https://termometal.hr/upload/catalog/product/4193/eko-cup-m3_58cfbccbd928d.pdf
- [12] <https://glavas.hr/file/2014/10/cspg-tablica.jpg>
- [13] <https://www.elvomat-trgovina.hr/product/1444-centrometal-solarna-pumpna-grupa-cspg-260.html>
- [14] <https://www.ikoma.hr/hr/solarno-grijanje/montazni-setovi-za-solarne-kolektore/montazni-set-za-2-solarna-kolektora-centrometal-ravni-krov-cpk-7210-n-1235/>
- [15] Duffie, J., Beckman, W.: Solar Engineering of Thermal Processes. Wiley-Interscience ed., 1991
- [16] http://repozitorij.fsb.hr/1172/1/09_12_2010_zavrnsni.rad.Igor.Jukic.pdf
- [17] <http://31.45.242.218/HZN/Todb.nsf/wFrameset2?OpenFrameSet&Frame=Down&Src=%2FHZN%2FTodb.nsf%2Fcd07510acb630f47c1256d2c006ec863%2Fec109e178d4816b7c1257d79002a8726%3FOpenDocument%26AutoFramed>
- [18] http://meteo.hr/klima.php?section=klima_pracenje¶m=srednja_temperatura&Građ=vz_sred&Godina=2017
- [19] Damir Dović, Modul 2 - 2.2.1-2.2.4 Sunčeva Energija
- [20] http://www.mgipu.hr/doc/EnergetskaUcinkovitost/Algoritmi/Algoritam_HRN_EN_13790_2017.pdf
- [21] http://re.jrc.ec.europa.eu/pvg_download/map_index.html
- [22] <https://termometal.hr/upload/catalog/groups/211/grundfos%20pumpe.pdf>

- [23] <http://www.hep.hr/stariods/kupci/kucanstvo/tarifne-stavke-cijene/160>
- [24] <http://www.termoplins.com/tarifa-opskrbe-plinom-za-razdoblje-od-01-travnja-do-31-srpnja-2018-godine/>
- [25] <http://www.solarno.hr/katalog/proizvod/KVOTE%20PARA/poticaji-mikrosolari-2018-solarni-paneli>
- [26] <http://www.solvis.hr/hr/advice/suncevo-zracenje-na-podrucju-hrvatske/>
- [27] <https://www.ikoma.hr/hr/basket/>

Popis slika

| | |
|--|----|
| Slika 2.1. Kuća u gradu Varaždinu..... | 13 |
| Slika 2.2. Tlocrt kuće-prizemlje | 13 |
| Slika 2.3. Tlocrt kuće-prvi kat | 14 |
| Slika 2.4. 3D prikaz kuće..... | 14 |
| Slika 3. Toplinska bilanca solarnog sustava [16] | 15 |
| Slika 5.10. Graf prikaza investicijskih troškova | 31 |
| Slika 6. Shema sustava grijanja prostora i zagrijavanja PTV [3]..... | 34 |
| Slika 7. Srednja godišnja ozračenost vodoravne plohe [26] | 35 |
| Slika 7.1. Grafički prikaz uz pomoć Hoval kalkulatora | 36 |
| Slika 7.1.1. Cijevni vakuumski solarni kolektor CVSXC-10 [4]..... | 37 |
| Slika 7.2. Solarni inox bojler STEB-200 [6]..... | 39 |
| Slika 7.2.1. Osnovni dijelovi bojlera STEB-200,300,600 [7]..... | 40 |
| Slika 7.2.2. Ploča solarne regulacije STEB [3] | 41 |
| Slika 7.3. Akumulacijski spremnik CAS-S [9] | 42 |
| Slika 7.3.1. Presjek i prikaz dijelova spremnika CAS i CAS-S [10] | 43 |
| Slika 7.4. Kotao EKO-CUP M3 [11]..... | 44 |
| Slika 7.4.1. Sastavni dijelovi kotla EKO-CUP M3 [11]..... | 45 |
| Slika 7.5.1. Shematski prikaz dionice cjevovoda u kući-prizemlje | 46 |
| Slika 7.5.2. Shematski prikaz dionice cjevovoda u kući-prvi kat | 46 |
| Slika 7.6.. Solarna pumpna grupa CSPG-260 i 3-putni preklopni ventil [3] | 49 |
| Slika 7.6.1. Elementi solarne pumpne grupe CSPG-260 [12] | 50 |
| Slika 7.7. Ekspanzijska posuda imera 24L | 51 |
| Slika 7.8. Montažni set za 2 solarna kolektora [14] | 52 |

Popis tablica

| | |
|---|----|
| Tablica 5.1. Početni parametri | 17 |
| Tablica 5.2. Mjesečni klimatski podaci | 18 |
| Tablica 5.2.1. Referentna temperatura za PTV i razlika u temperaturi | 19 |
| Tablica 5.3 Toplinska energija potrebna za PTV i grijanje prostora..... | 20 |
| Tablica 5.3.1. Mjesečni iznos stupanj-dana..... | 21 |
| Tablica 5.3.2. Potrebe grijanja PTV i prostora | 22 |
| Tablica 5.4.1. Faktori X, Y i toplinski dobitak za PTV..... | 23 |
| Tablica 5.4.2. Faktori X,Y i toplinski dobitak za grijanje prostora..... | 23 |
| Tablica 5.5. Mjesečni rad i potrošnja energije pumpe..... | 24 |
| Tablica 5.6.1. Ukupni koeficijent gubitka topline solarnog spremnika..... | 25 |
| Tablica 5.6.2. Mjesečni i ukupni (godišnji) gubici | 26 |
| Tablica 5.7. Iskoristivosti mjesečnih i ukupnih (godišnjih) toplinskih gubitaka | 27 |
| Tablica 5.8. Mjesečni nominalni rad pumpe, solarni udio i nominalna potrošnja pomoćne energije | 28 |
| Tablica 5.8.1. Mjesečni nominalni toplinski gubici i reducirani mjesečni toplinski gubici pomoćnog generatora | 29 |
| Tablica 5.9.1. Potrebna energija, dobivena energija iz solarnog sustava i gubici..... | 30 |
| Tablica 5.9.2. Godišnja potrebna energija i dobivena godišnja energija iz solarnog sustava .. | 30 |
| Tablica 5.10. Financijski podaci o investiciji | 31 |
| Tablica 5.11. Godišnji period povrata investicije | 32 |
| Tablica 5.12. Povrat investicije uz poticaj | 33 |
| Tablica 7.1.1. Karakteristike cijevnog vakuumskog kolektora CVSCK-10 [3] | 38 |
| Tablica 7.2.1. Tehnički podaci bojlera [3]..... | 40 |
| Tablica 7.3.1. Tehnički podaci spremnika [10]..... | 43 |
| Tablica 7.4.1. Tehničke karakteristike kotlova EKO-CUP M3 [11]..... | 45 |
| Tablica 7.5.1. Ulazni podaci | 48 |
| Tablica 7.5.2. Viskoznost vode pri određenoj temperaturi..... | 48 |
| Tablica 7.5.3. Preporučene brzine strujanja u cijevima..... | 48 |
| Tablica 7.6.1. Karakteristike solarne pumpne grupe CSPG-260 [12]..... | 50 |

Prilog

CD-R disc